

Zeitschrift: Cahiers d'archéologie romande
Band: 6 (1976)

Artikel: Le dolmen MVI : texte
Rubrik: Figures hors texte
Autor: Bocksberger, O.-J.
DOI: <https://doi.org/10.5169/seals-835612>

Nutzungsbedingungen

Die ETH-Bibliothek ist die Anbieterin der digitalisierten Zeitschriften. Sie besitzt keine Urheberrechte an den Zeitschriften und ist nicht verantwortlich für deren Inhalte. Die Rechte liegen in der Regel bei den Herausgebern beziehungsweise den externen Rechteinhabern. [Siehe Rechtliche Hinweise.](#)

Conditions d'utilisation

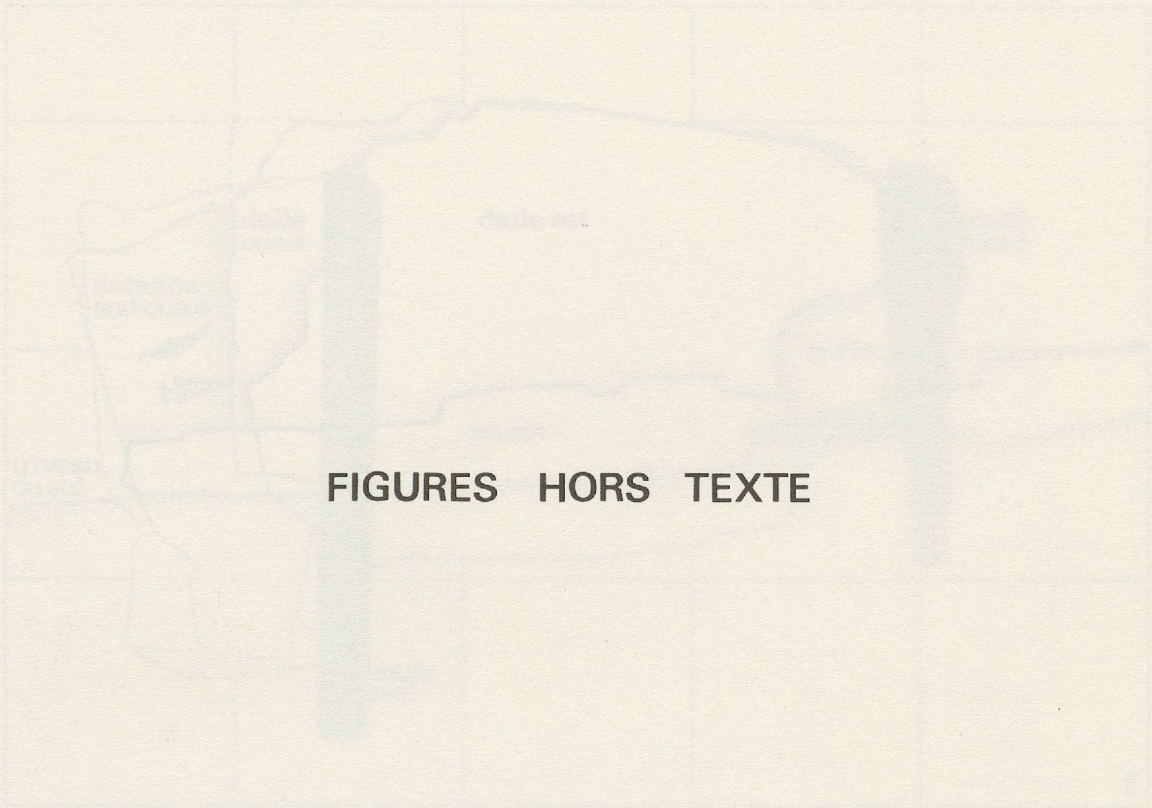
L'ETH Library est le fournisseur des revues numérisées. Elle ne détient aucun droit d'auteur sur les revues et n'est pas responsable de leur contenu. En règle générale, les droits sont détenus par les éditeurs ou les détenteurs de droits externes. [Voir Informations légales.](#)

Terms of use

The ETH Library is the provider of the digitised journals. It does not own any copyrights to the journals and is not responsible for their content. The rights usually lie with the publishers or the external rights holders. [See Legal notice.](#)

Download PDF: 17.11.2024

ETH-Bibliothek Zürich, E-Periodica, <https://www.e-periodica.ch>



FIGURES HORS TEXTE

Fig. 1. Description de plan de site, sur les lieux.

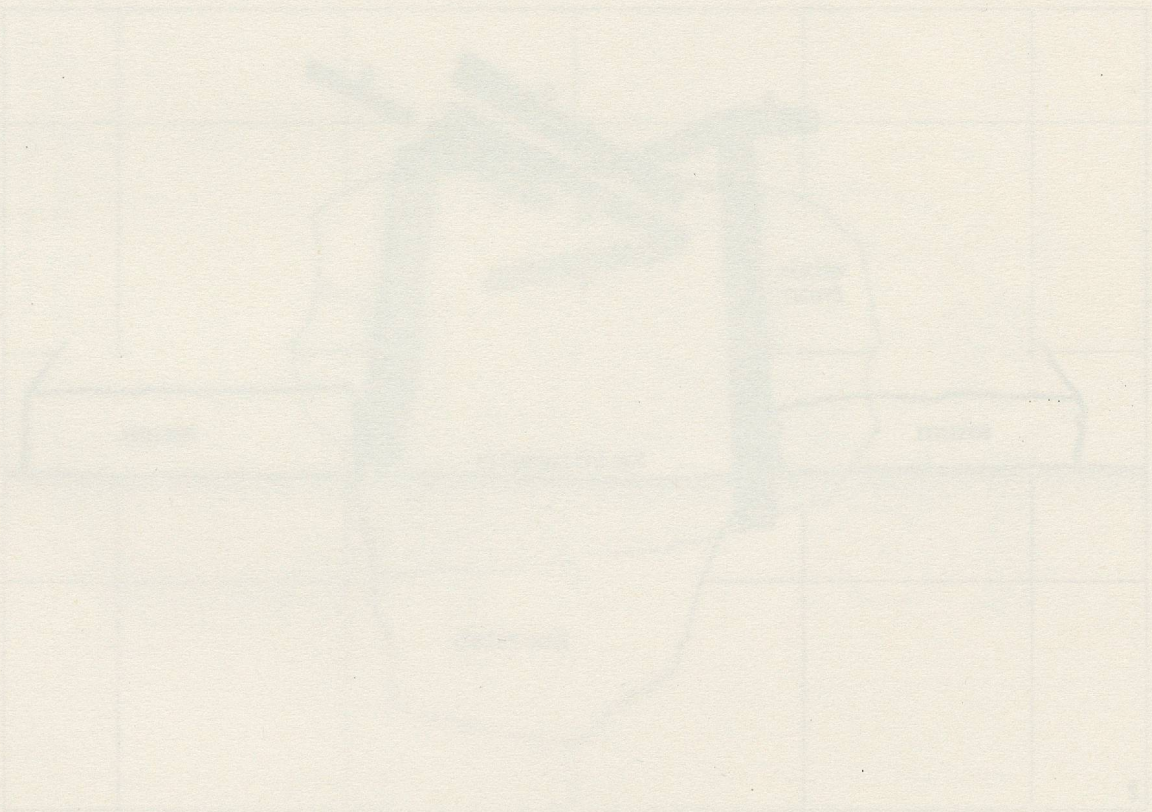


Fig. 2. Description de plan de site, coupe transversale et projection des sites nord et sud.

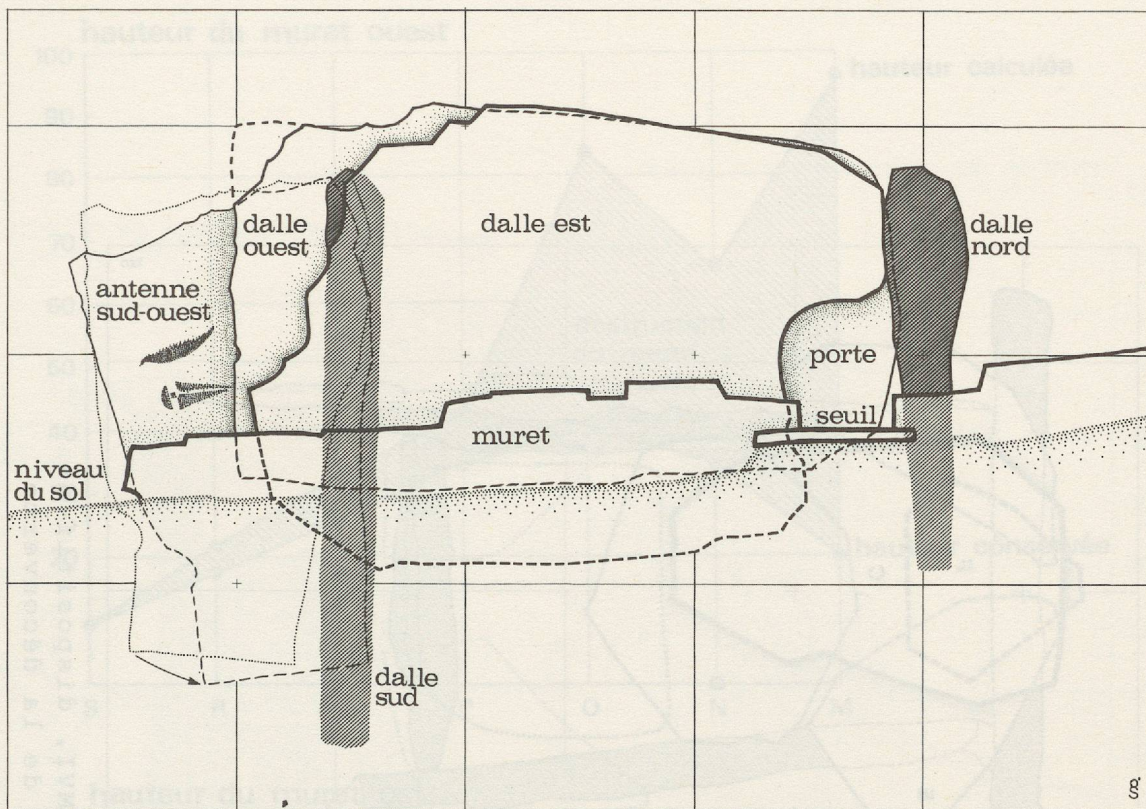


Fig. 1. Construction du coffre de MVI, vue latérale.

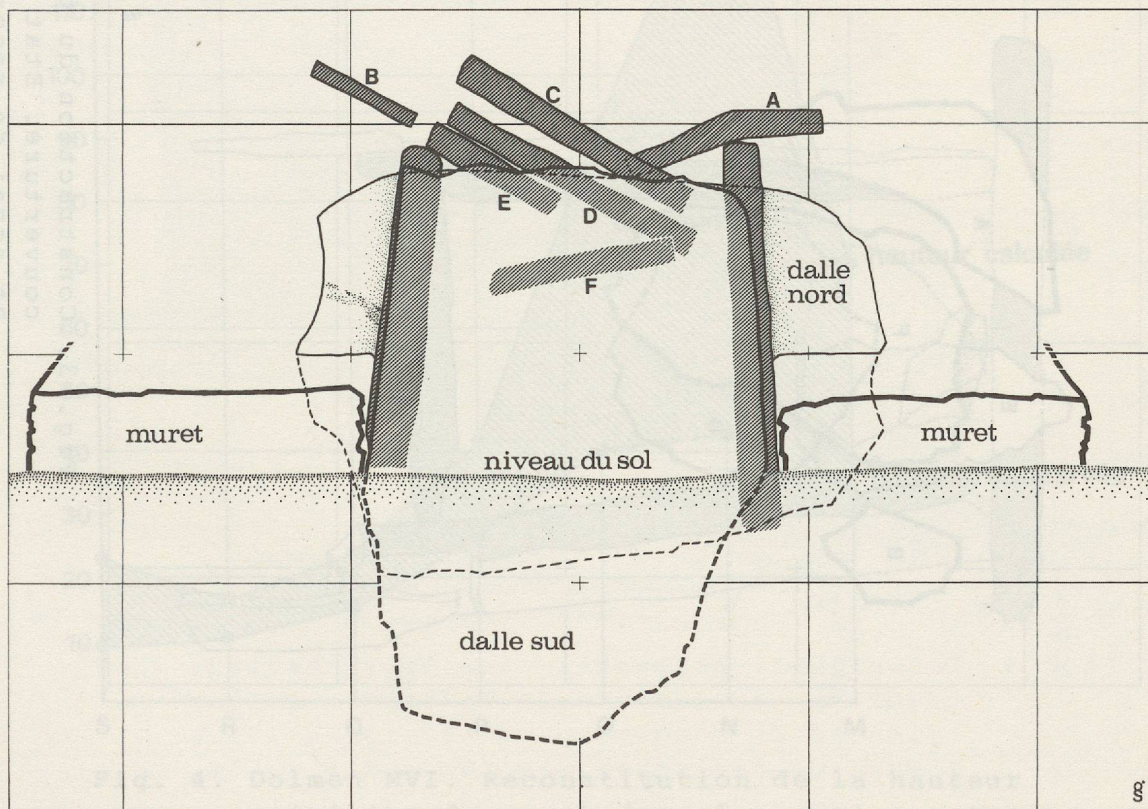


Fig. 2. Construction du coffre de MVI, coupe transversale et projection des dalles nord et sud.

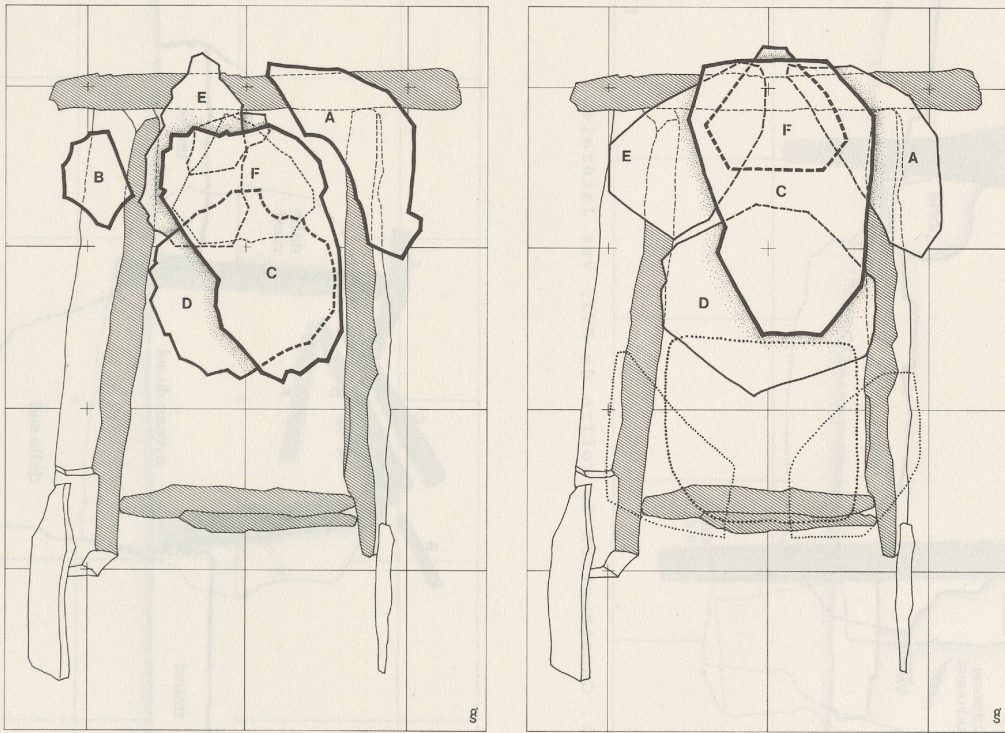


Fig. 3. Construction du coffre de MVI, dispositif de couverture. Etat au moment de la découverte et essai de reconstitution.

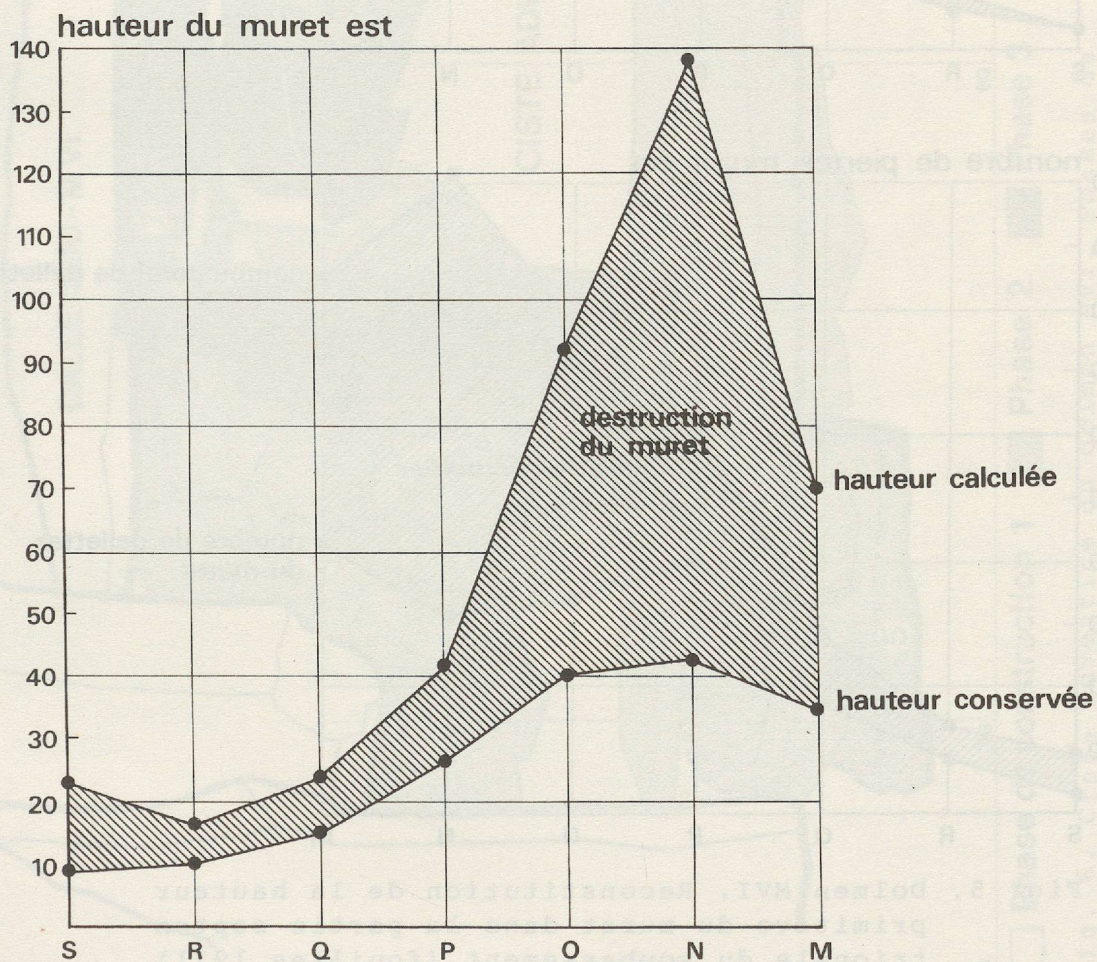
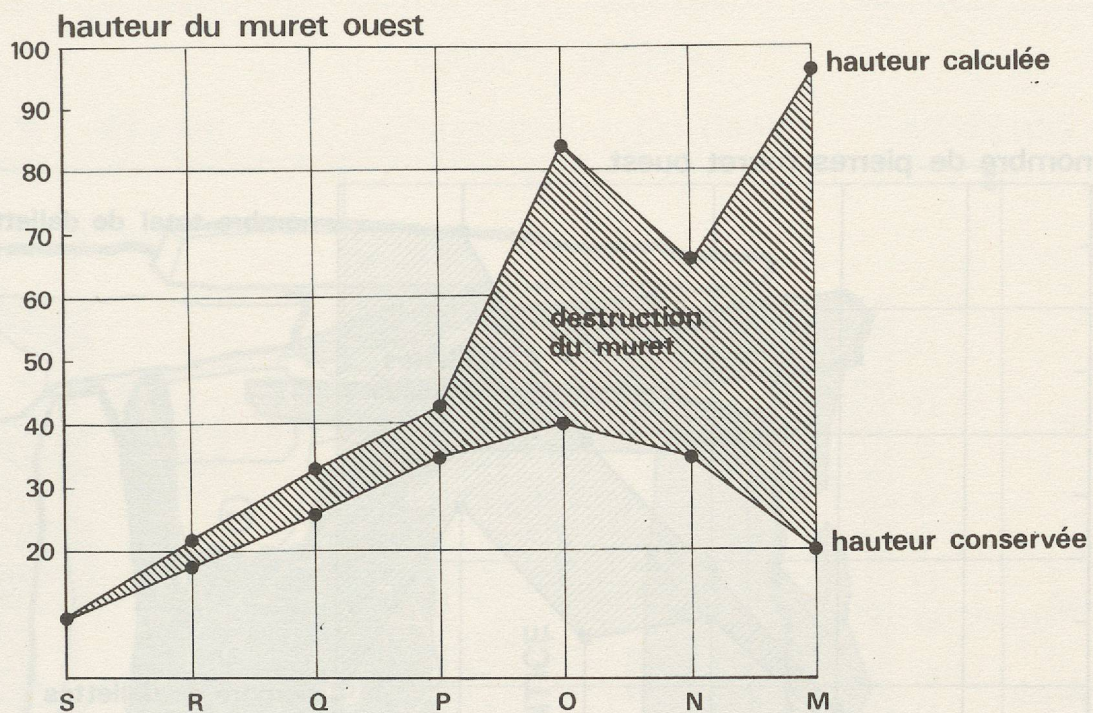


Fig. 4. Dolmen MVI. Reconstitution de la hauteur primitive du muret dans la partie septentrionale du soubassement (fouilles 1971). Hauteur conservée et hauteur calculée pour des intervalles de 1m.

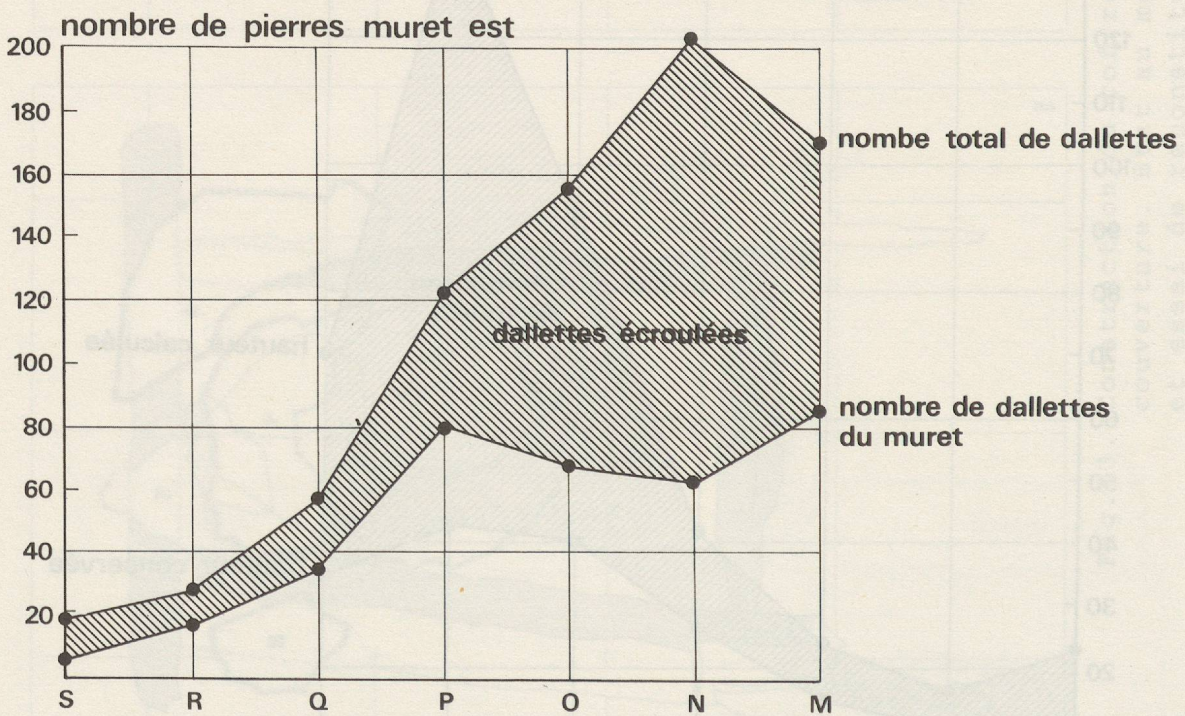
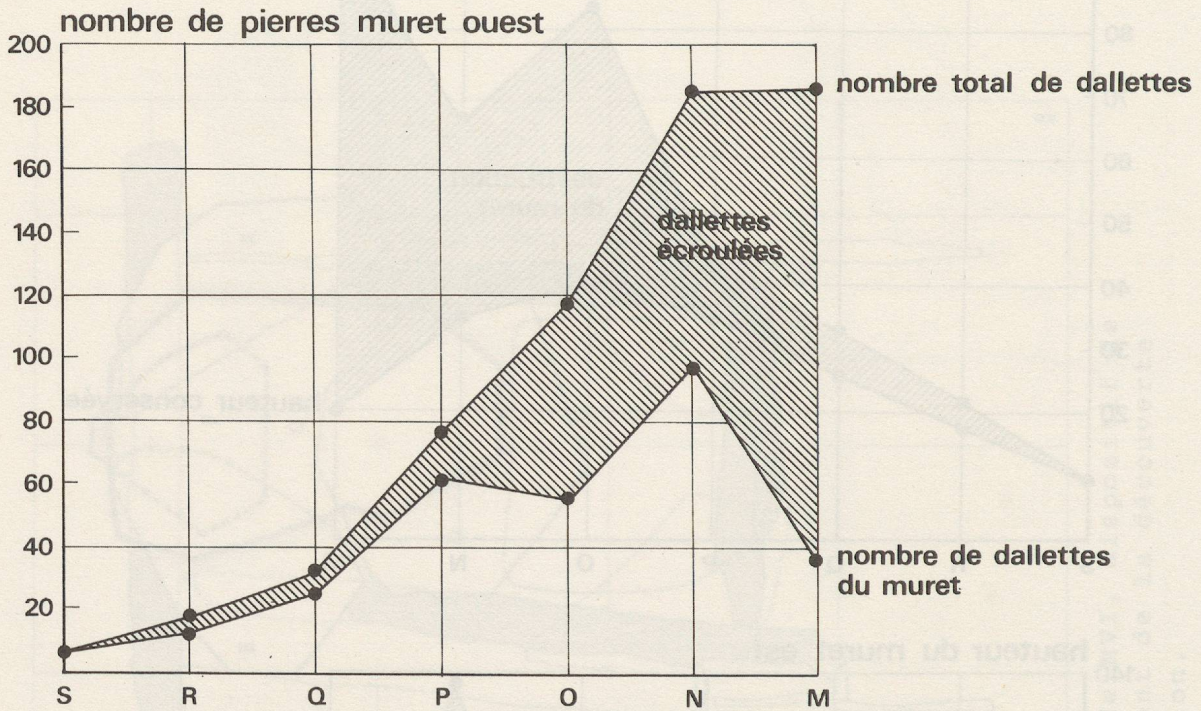


Fig. 5. Dolmen MVI. Reconstitution de la hauteur primitive du muret dans la partie septentrionale du soubassement (fouilles 1971). Nombre de dallettes par intervalle de 1m.

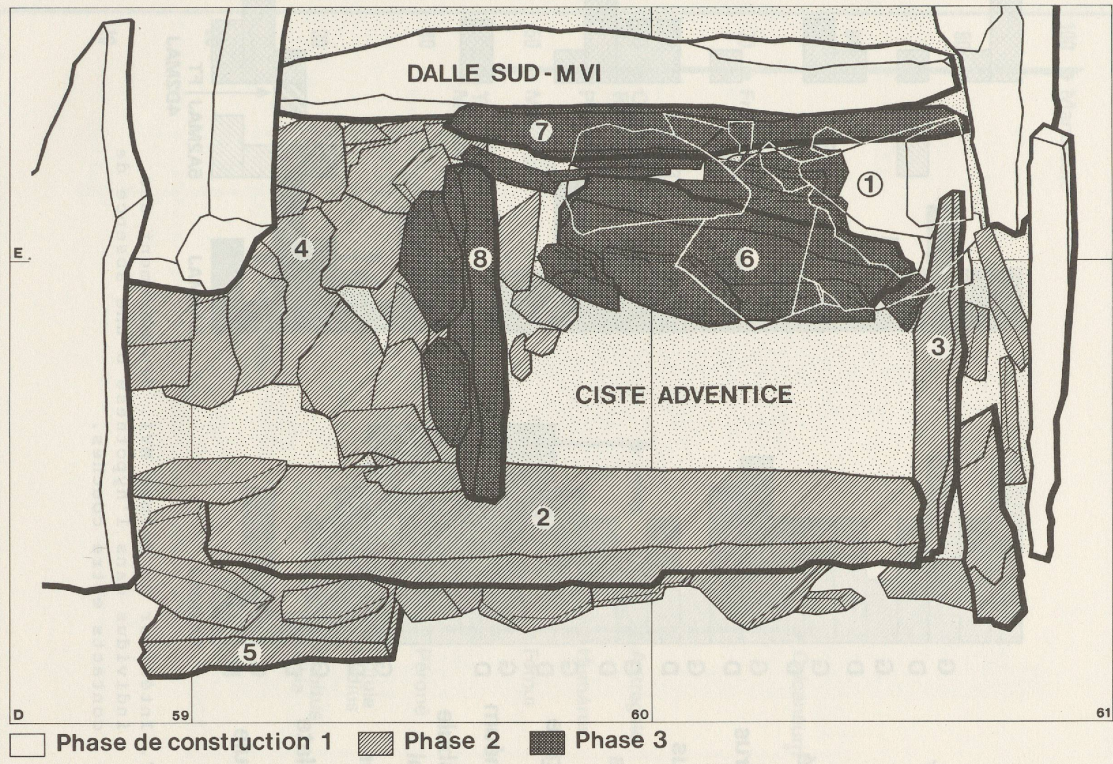


Fig. 6. Ciste adventice du dolmen MVI. Phases de construction.

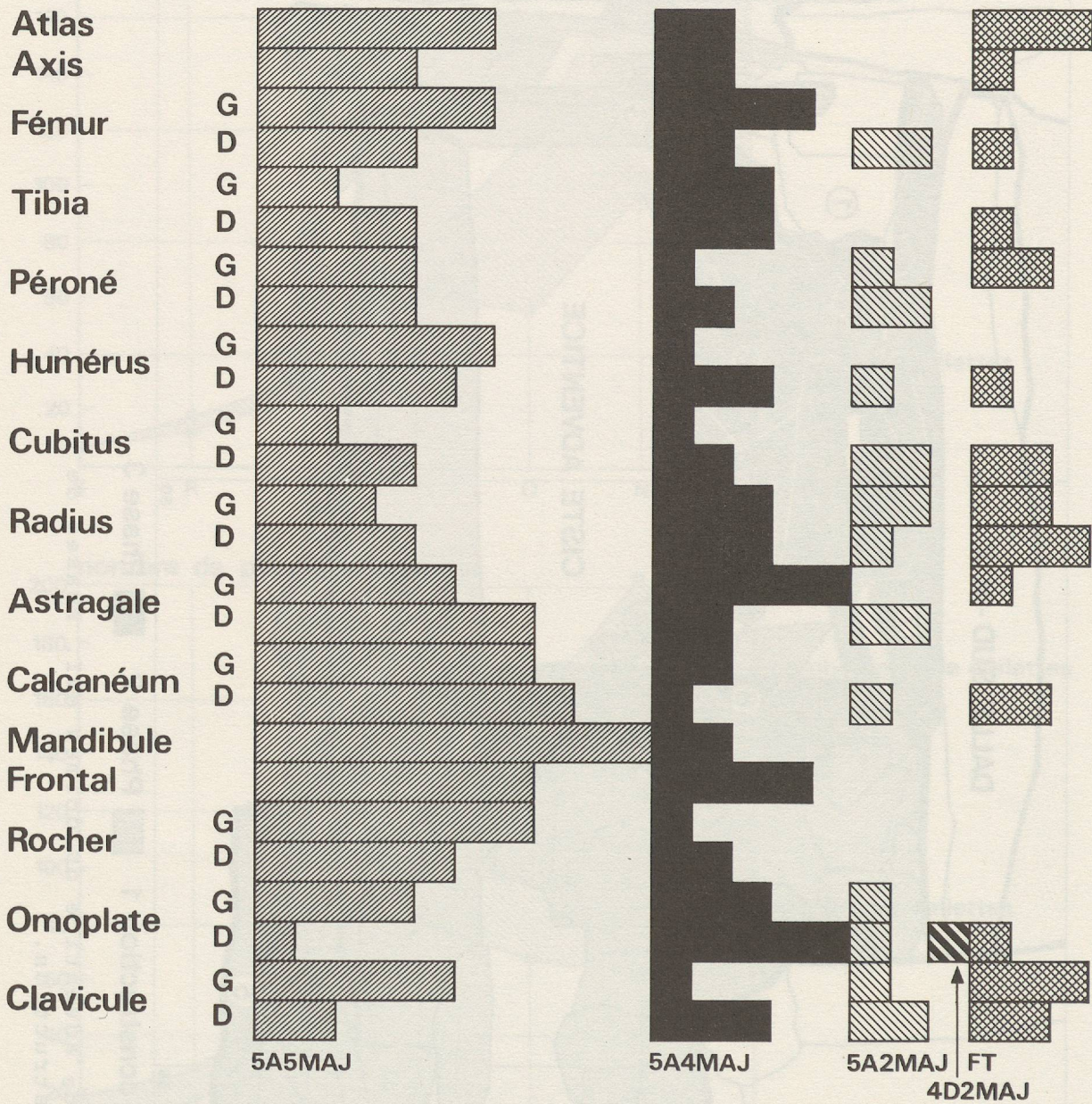


Fig. 7. Intérieur du dolmen MVI. Dénombrement des individus dans l'hypothèse d'une absence de contacts entre couches.

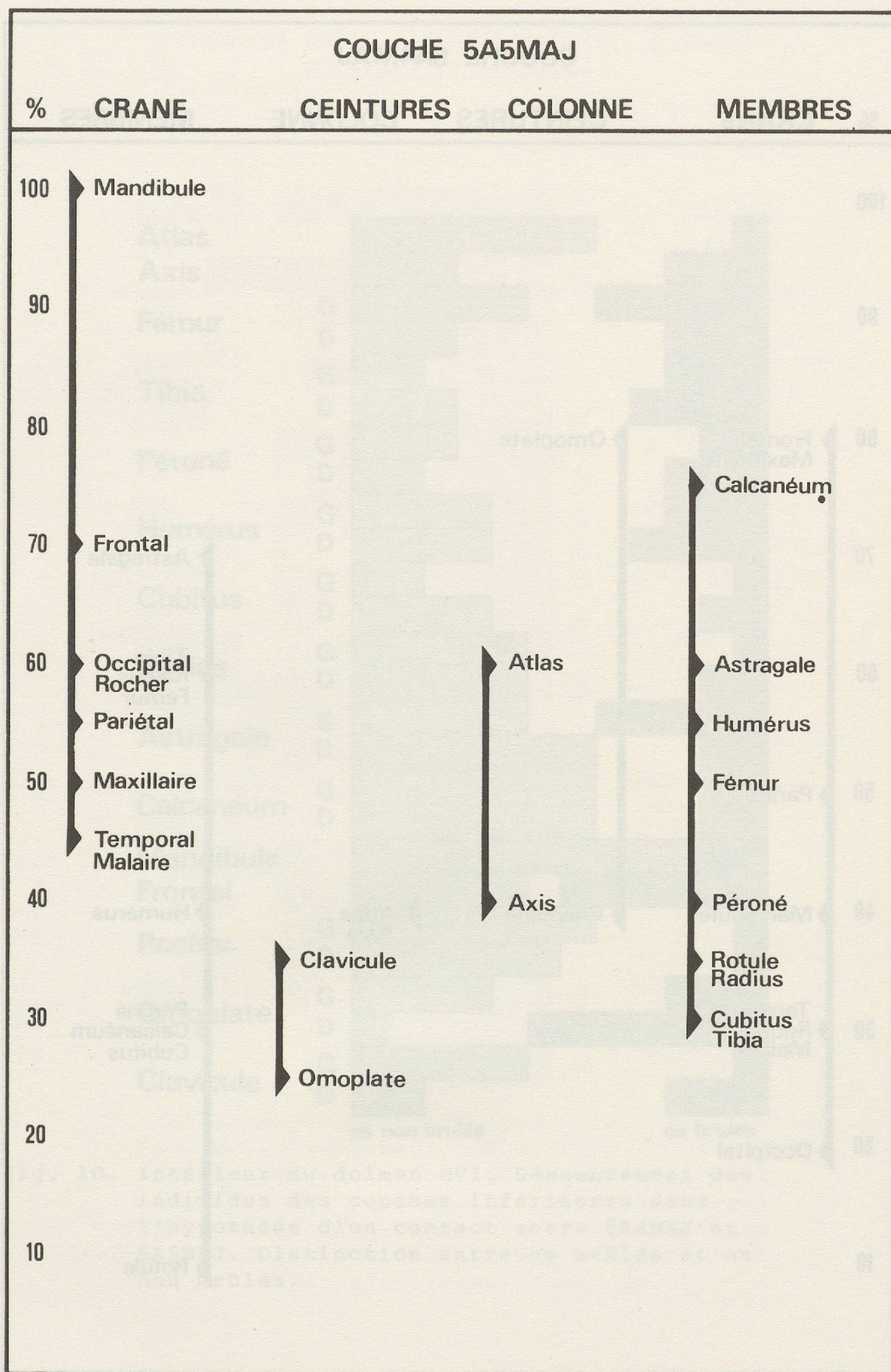


Fig. 8. Intérieur du dolmen MVI. Couche 5A5MAJ.
Degré de conservation du squelette dans
l'hypothèse d'une absence de contacts entre
couches.

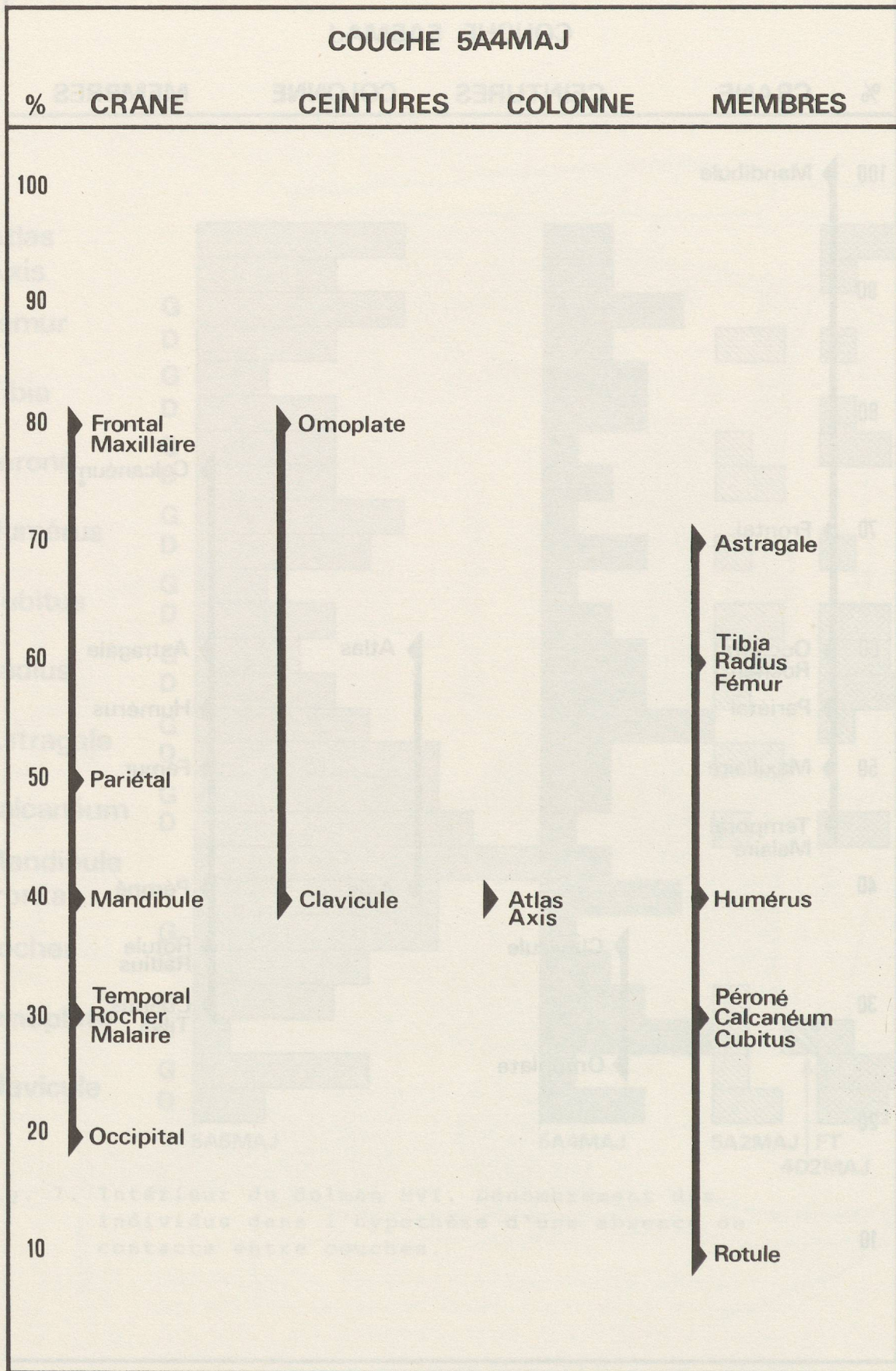


Fig. 9. Intérieur du dolmen MVI. Couche 5A4MAJ. Degré de conservation du squelette dans l'hypothèse d'une absence de contact entre couches.

ENSEMBLE DES COUCHES S4ZMAJ, S4MAJ
S4ZMAJ, FT. 40ZMAJ

CRANE CEINTURES COLONNE MEMBRES

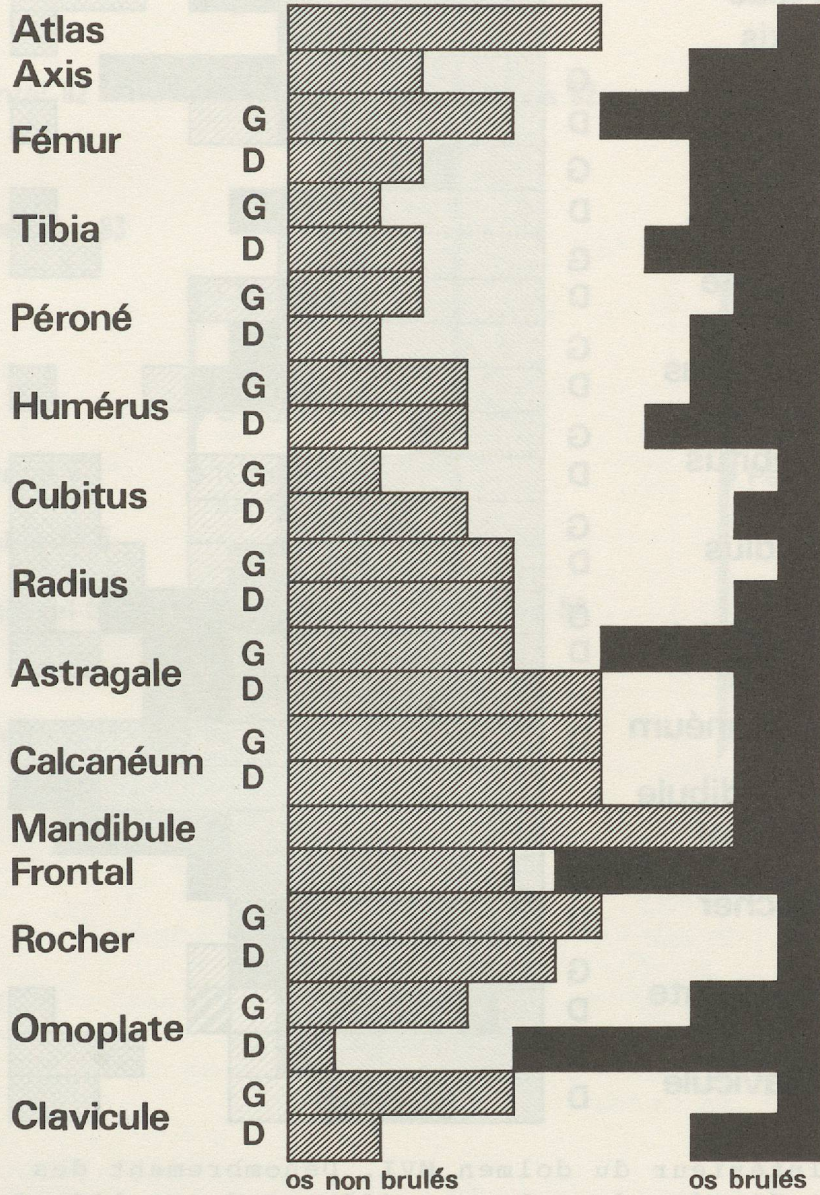


Fig. 10. Intérieur du dolmen MVI. Dénombrement des individus des couches inférieures dans l'hypothèse d'un contact entre 5A4MAJ et 5A5MAJ. Distinction entre os brûlés et os non brûlés.

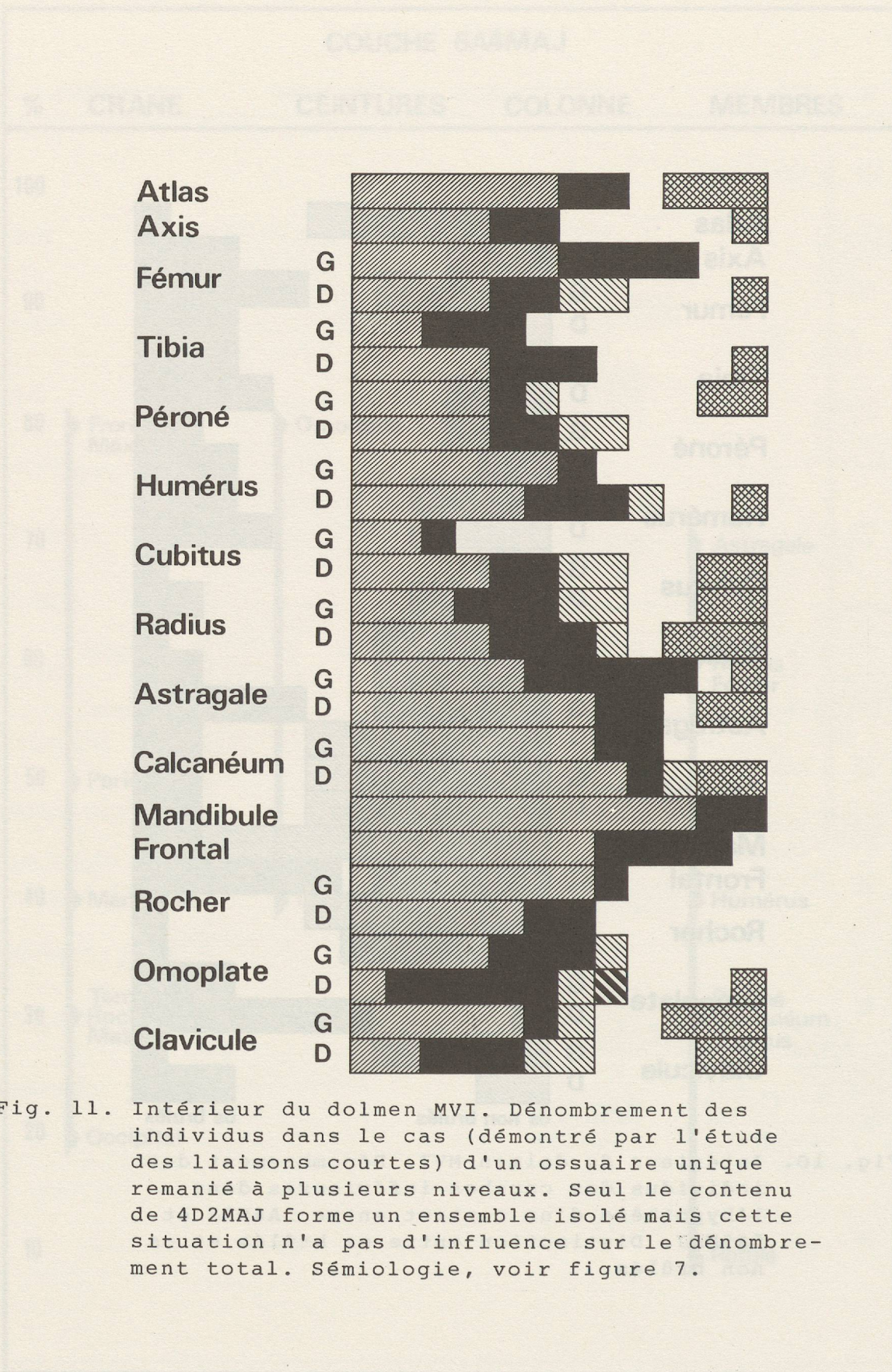


Fig. 11. Intérieur du dolmen MVI. Dénombrement des individus dans le cas (démonstré par l'étude des liaisons courtes) d'un ossuaire unique remanié à plusieurs niveaux. Seul le contenu de 4D2MAJ forme un ensemble isolé mais cette situation n'a pas d'influence sur le dénombrement total. Sémiologie, voir figure 7.

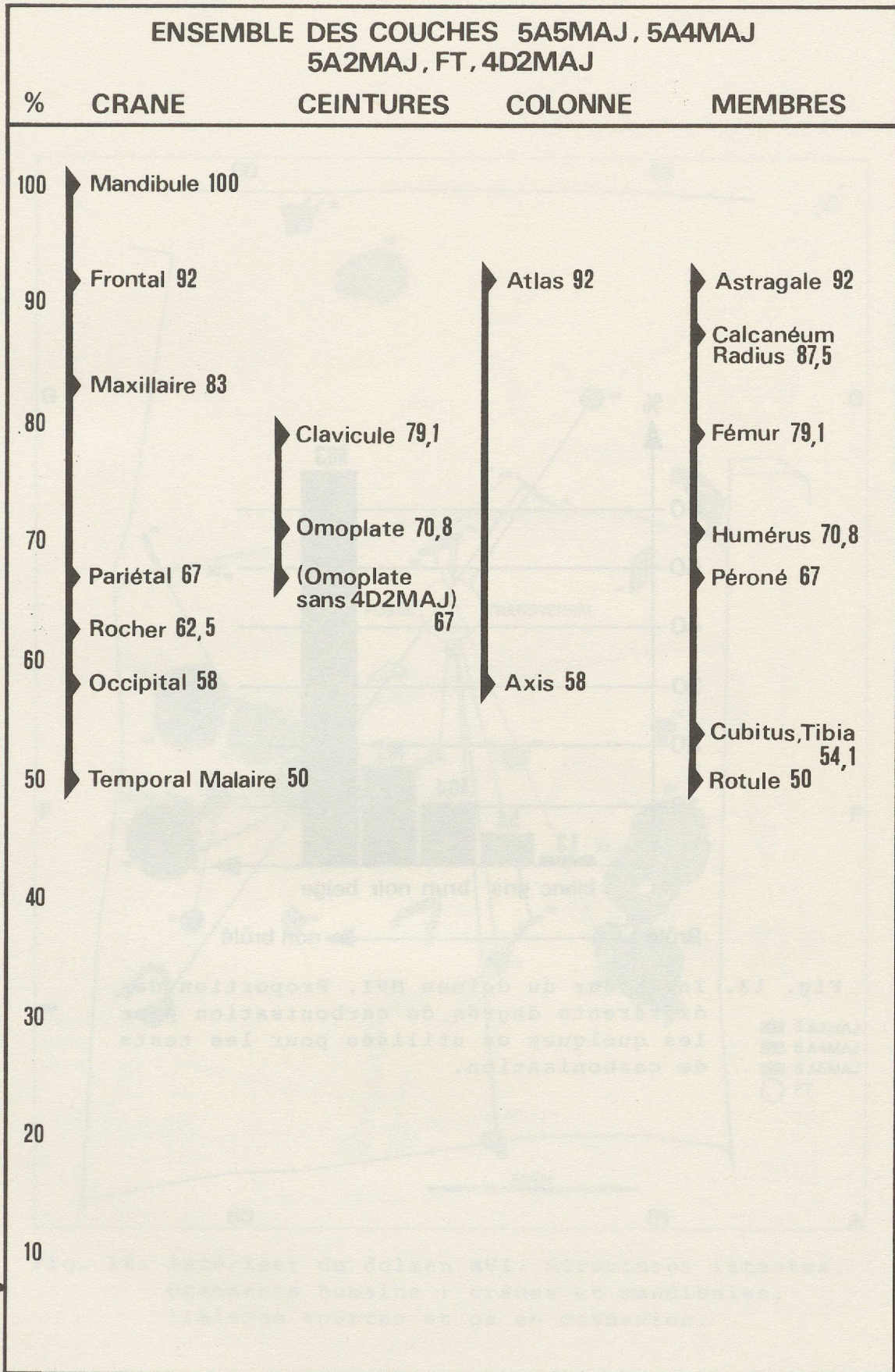


Fig. 12. Intérieur du dolmen MVI. Degré de conservation du squelette dans le cas d'un ossuaire unique.

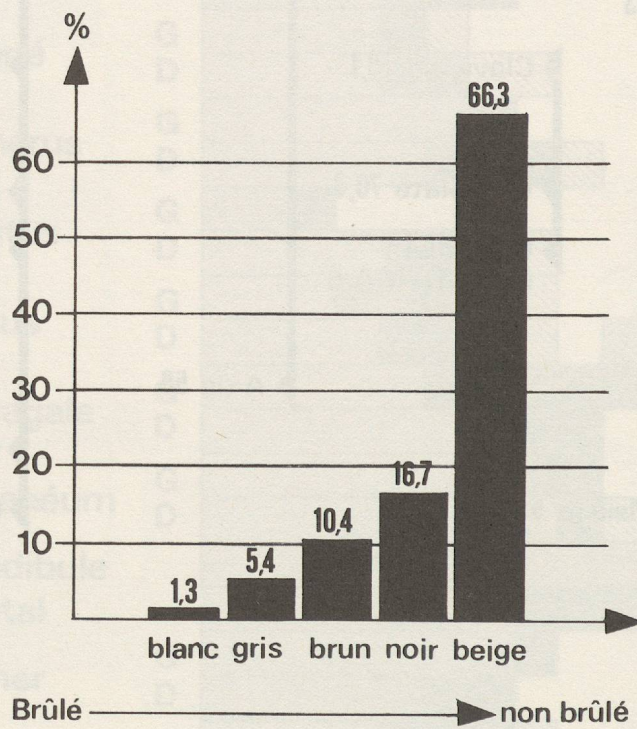


Fig. 13. Intérieur du dolmen MVI. Proportion des différents degrés de carbonisation pour les quelques os utilisés pour les tests de carbonisation.

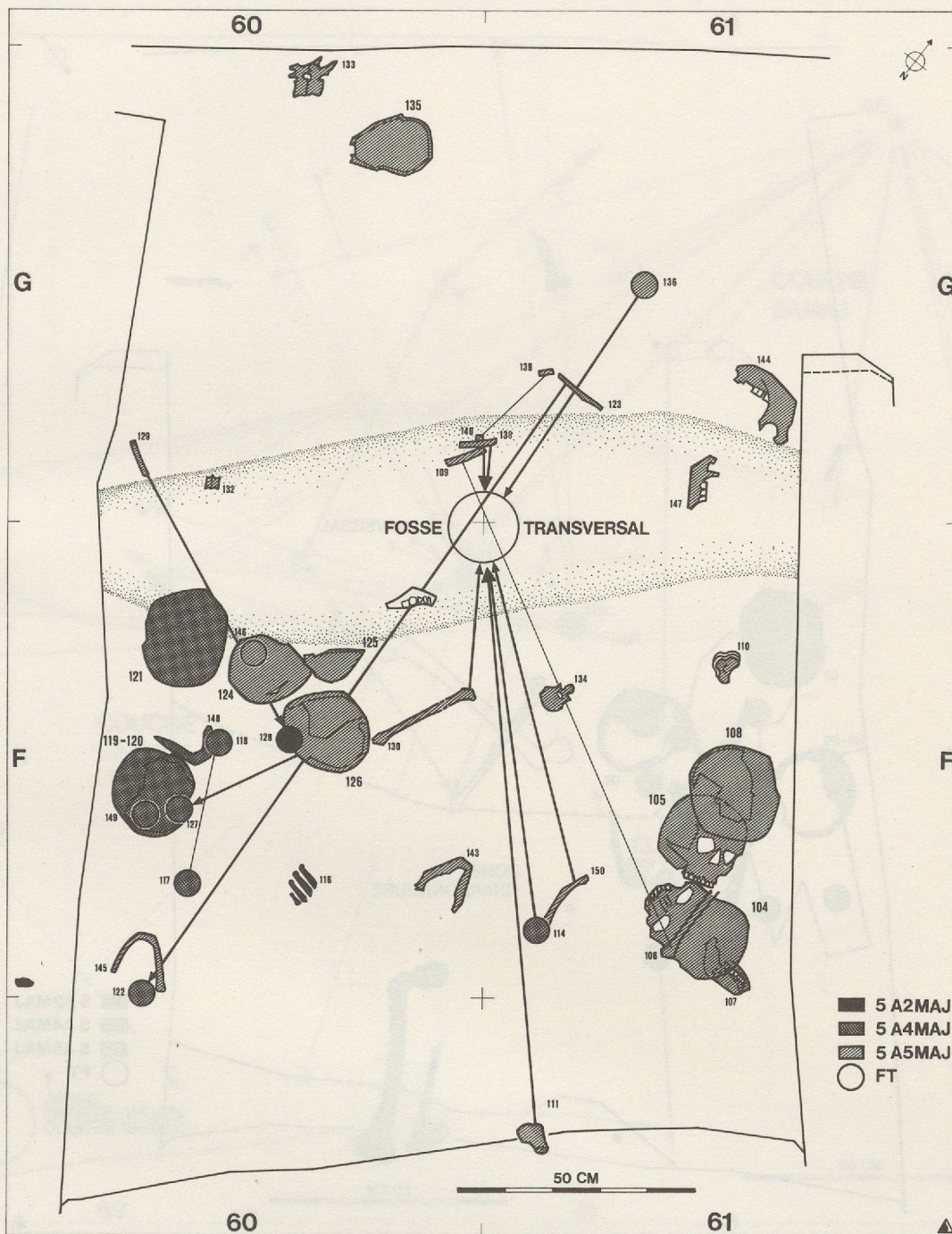


Fig. 14. Intérieur du dolmen MVI. Structures latentes.
Ossements humains : crânes et mandibules,
liaisons courtes et os en connexion.

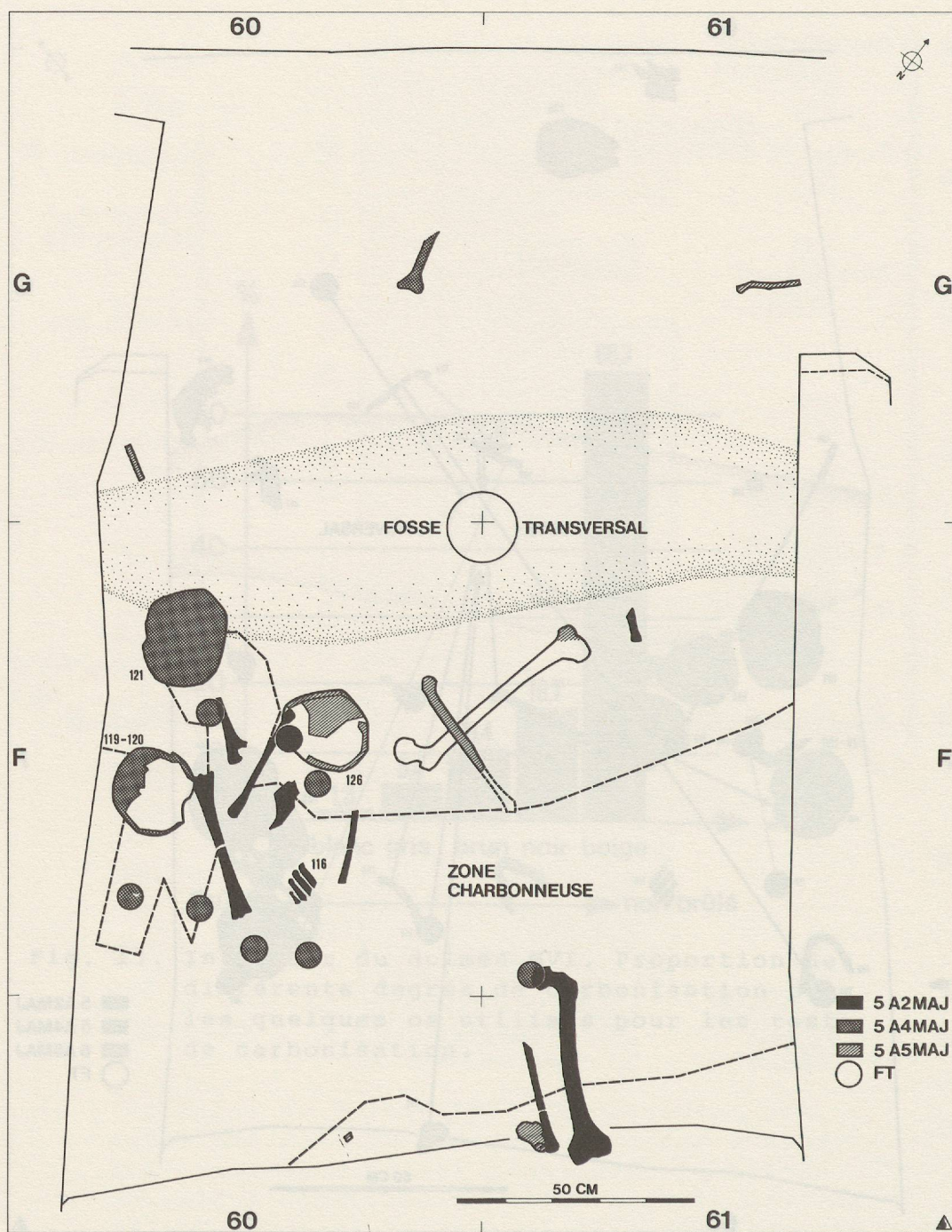


Fig. 15. Intérieur du dolmen MVI. Structures latentes. Ossements humains présentant des traces de carbonisation. Ce plan est largement incomplet tous les os n'étant pas individuellement situés.

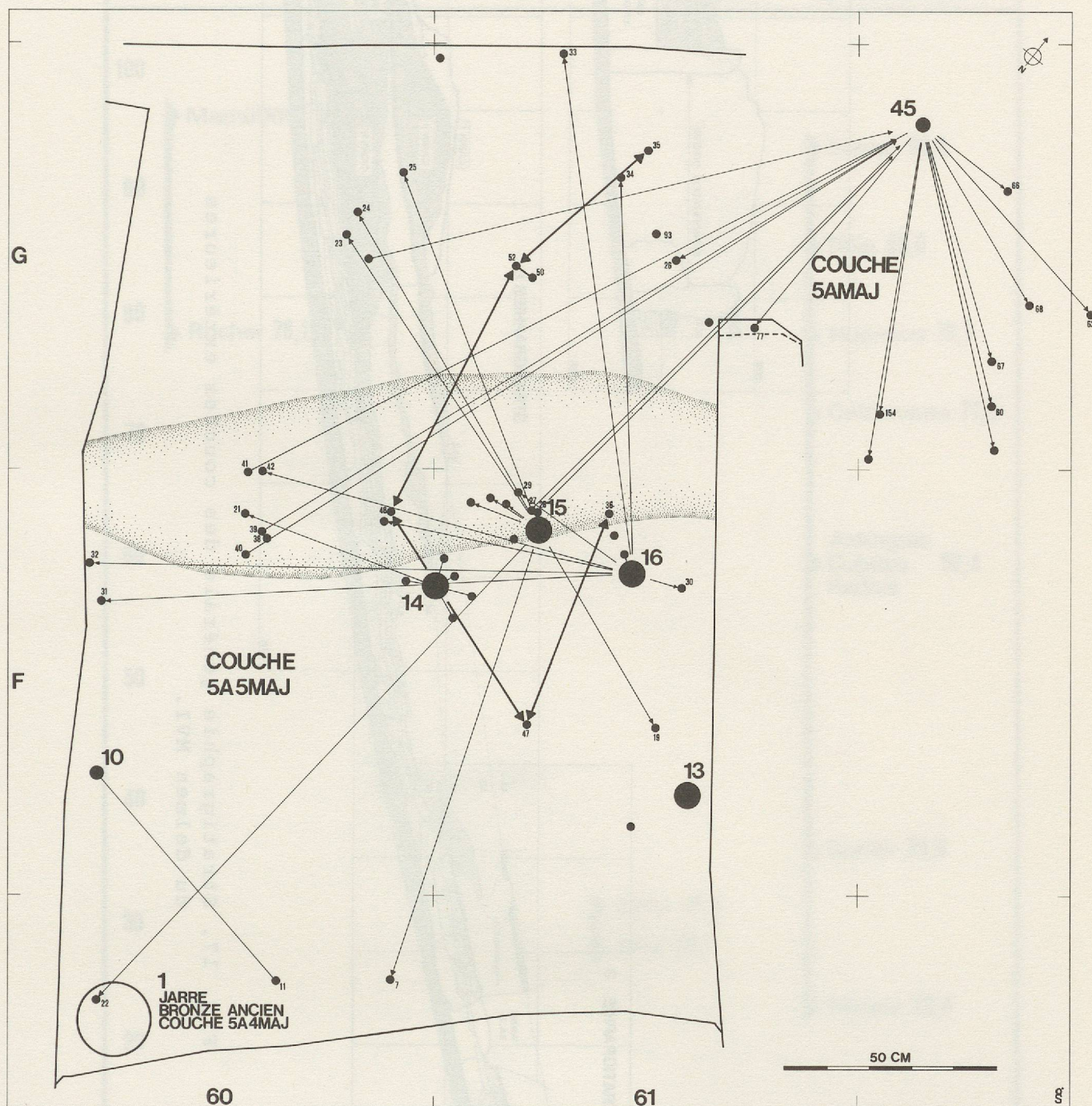


Fig. 16. Intérieur du dolmen MVI. Structures latentes. Céramique campaniforme (couches 5A5MAJ et 5A4MAJ) et jarre de type Bronze ancien (couche 5A4MAJ).

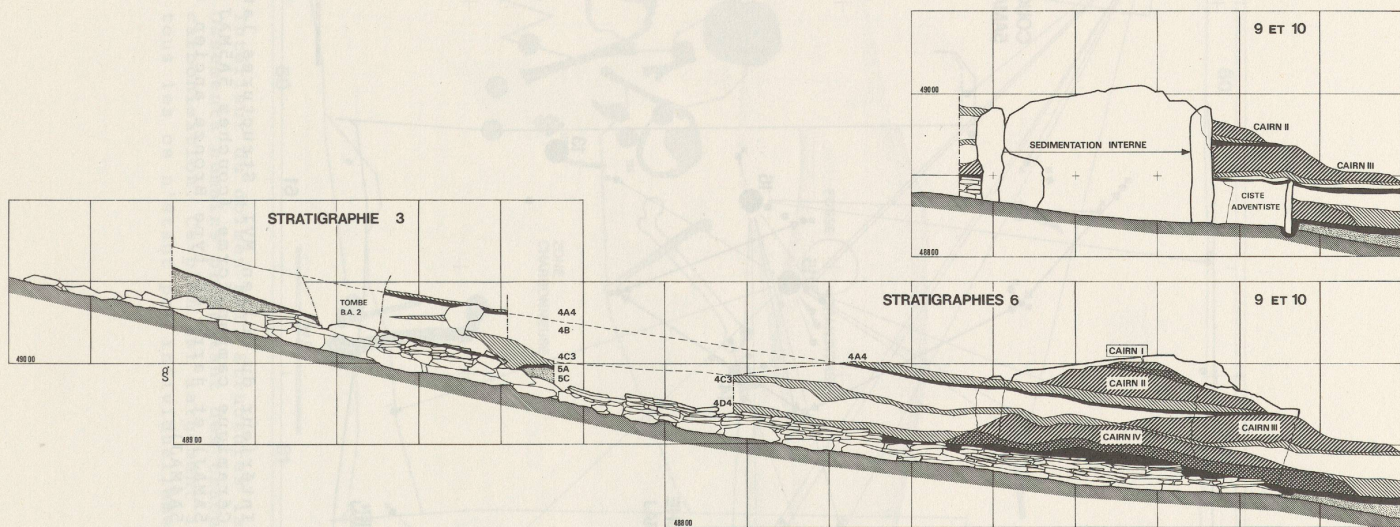


Fig. 17. Stratigraphie générale des couches extérieures du dolmen MVI.

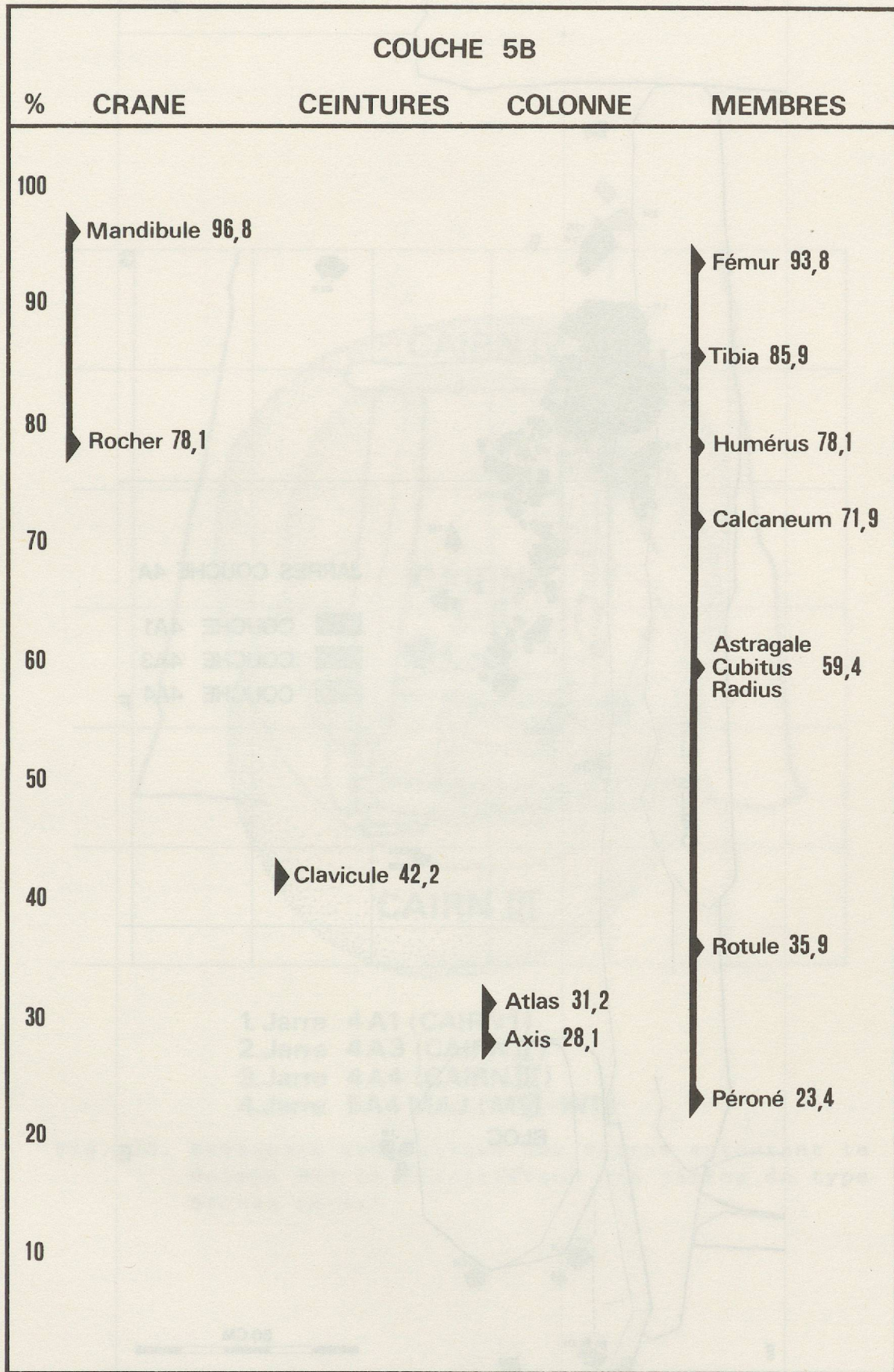


Fig. 18. MVI. Couche 5B. Degré de conservation du squelette.

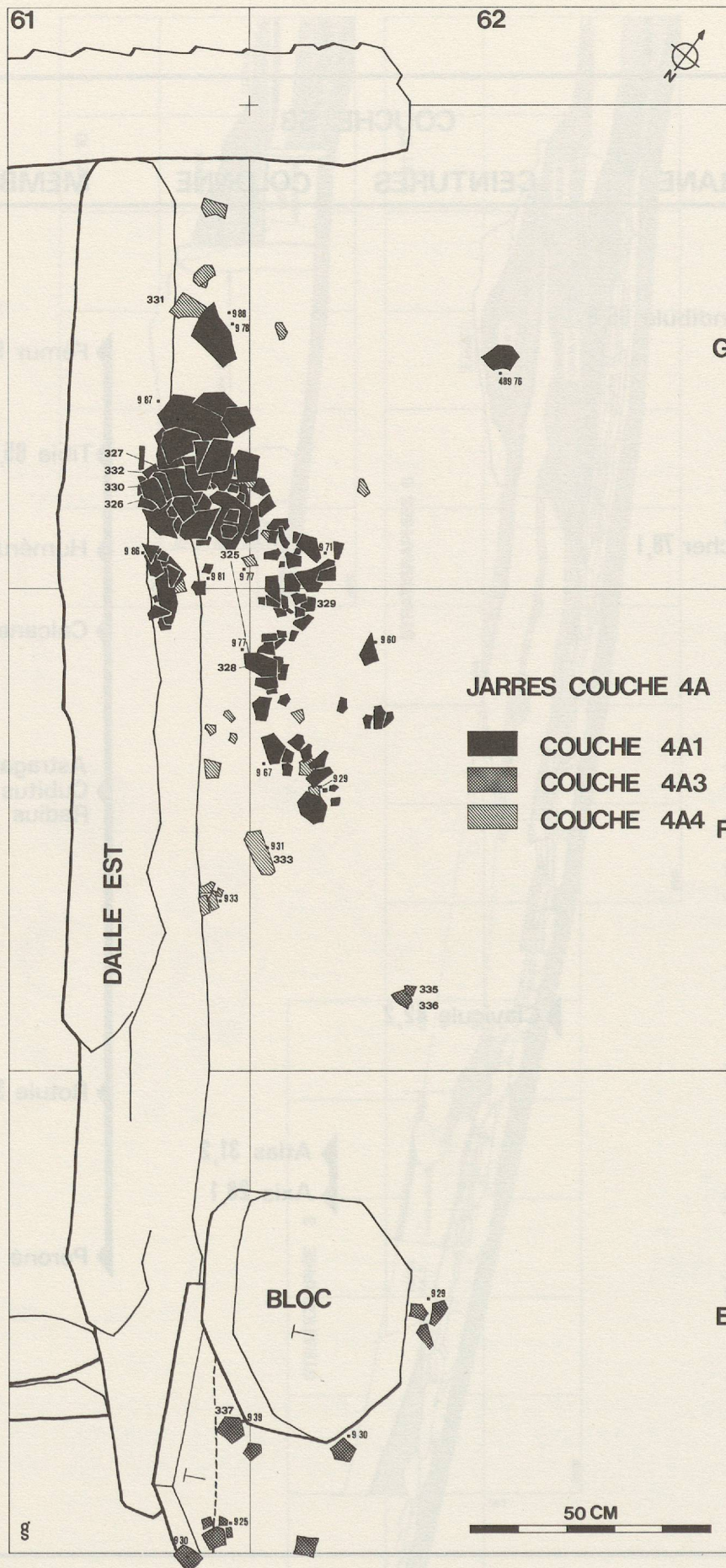
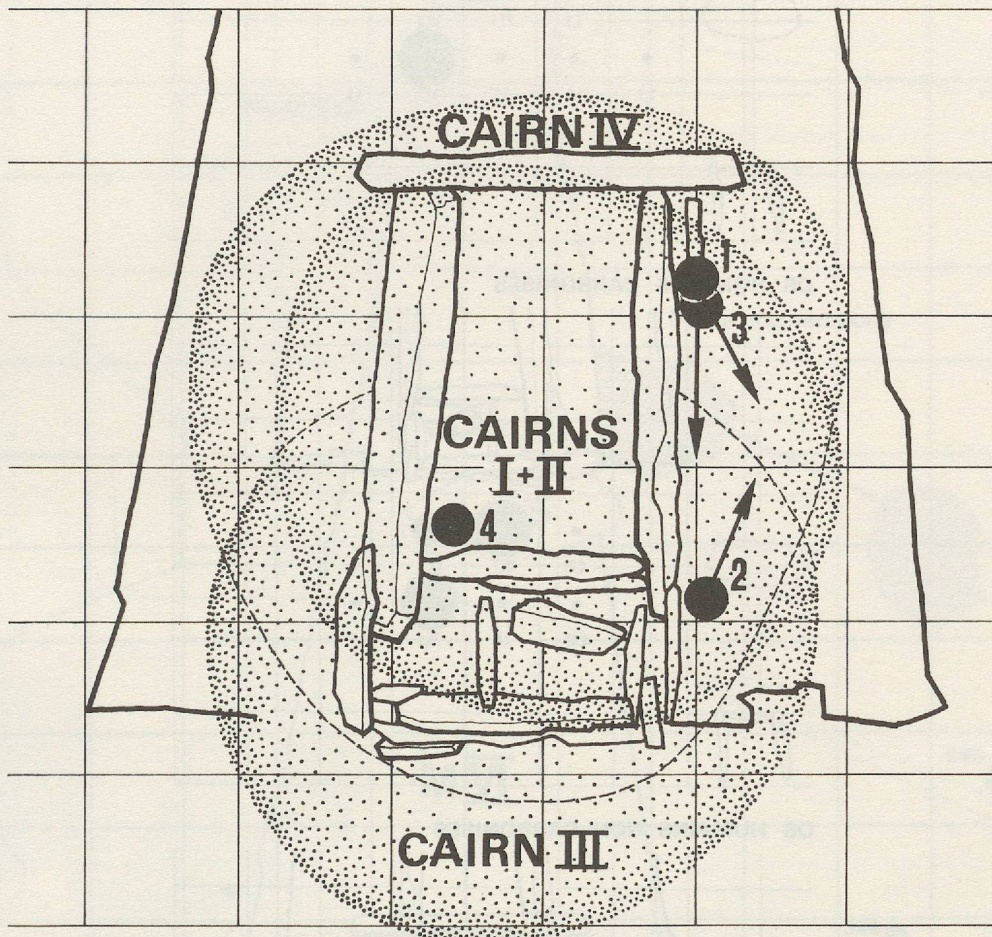


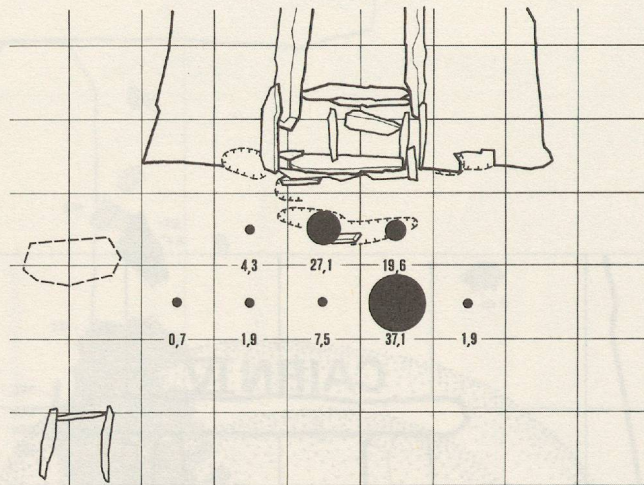
Fig. 19. MVI. Couches 4A. Répartition des tessons de jarres de type Bronze ancien (couches 4A1, 4A3 et 4A4).



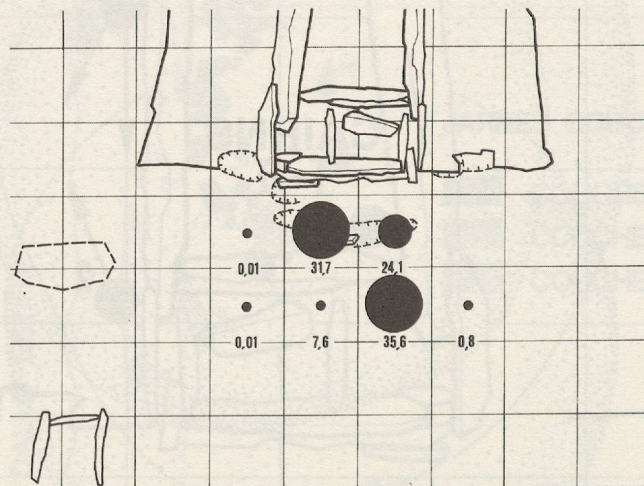
- 1. Jarre 4A1 (CAIRN I)
- 2. Jarre 4A3 (CAIRN II)
- 3. Jarre 4A4 (CAIRN III)
- 4. Jarre 5A4 MAJ (MVI-INT.)

Fig. 20. Extension schématique des cairns entourant le dolmen MVI et localisation des jarres de type Bronze ancien.

TOTALITE DES OS HUMAINS



OS HUMAINS CARBONISES



OS HUMAINS NON CARBONISES

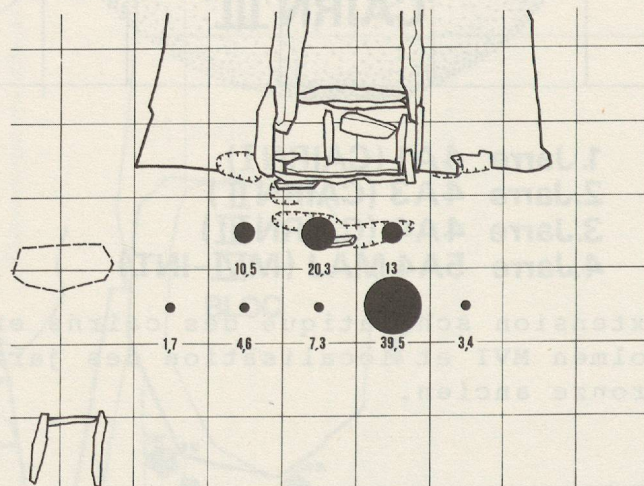


Fig. 21. Couche 5A au sud du dolmen MVI. Répartition topographique des os humains, totalité du matériel, os carbonisés, os non carbonisés. Valeurs des cercles : 40-30%; 29,9-20%; 19,9-10%; 9,9-0,01%.

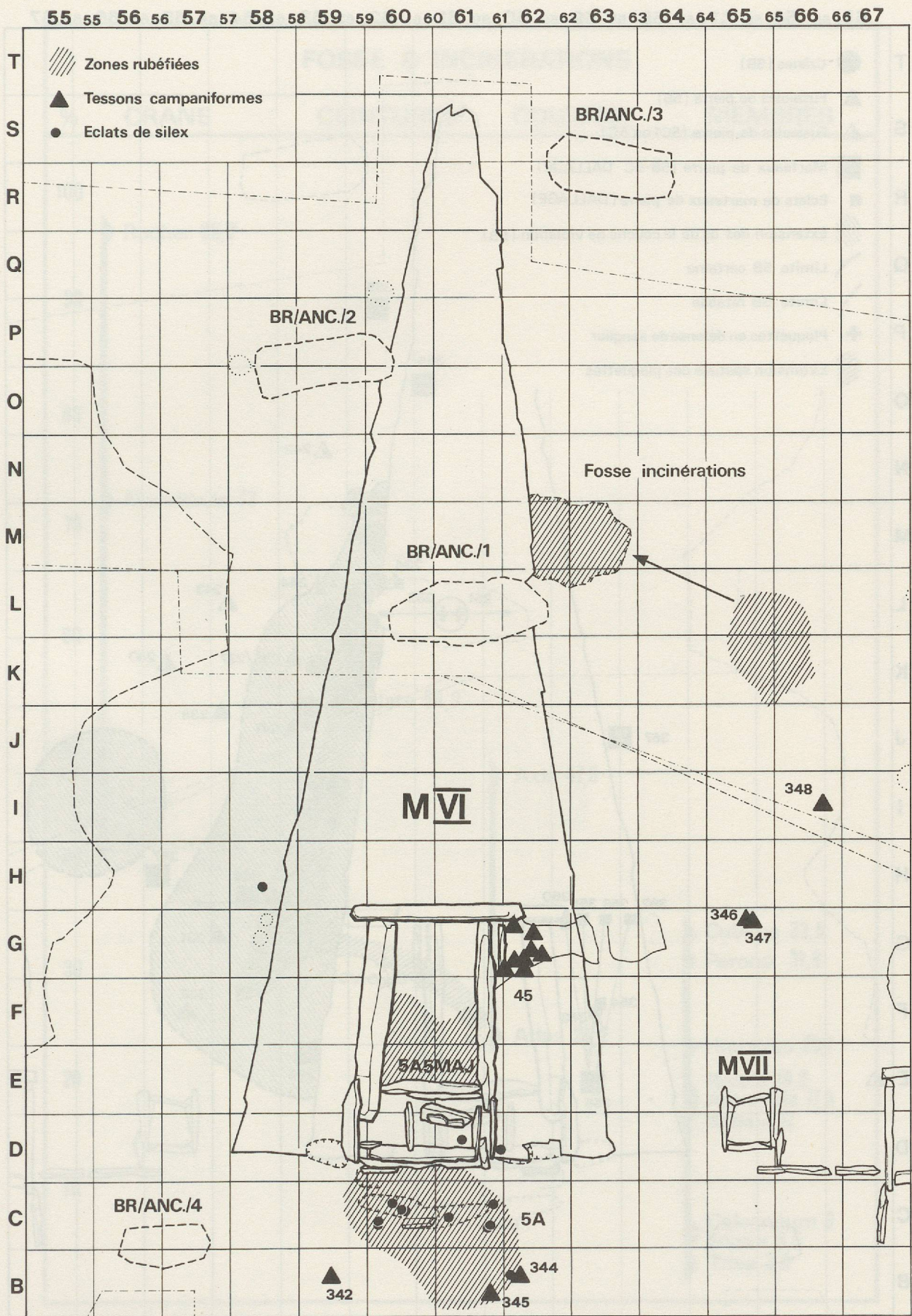


Fig. 22. Dolmen MVI. Couche 5A, structures latentes.



Fig. 23. Dolmen MVI. Couches 5B et 5C1, structures latentes.

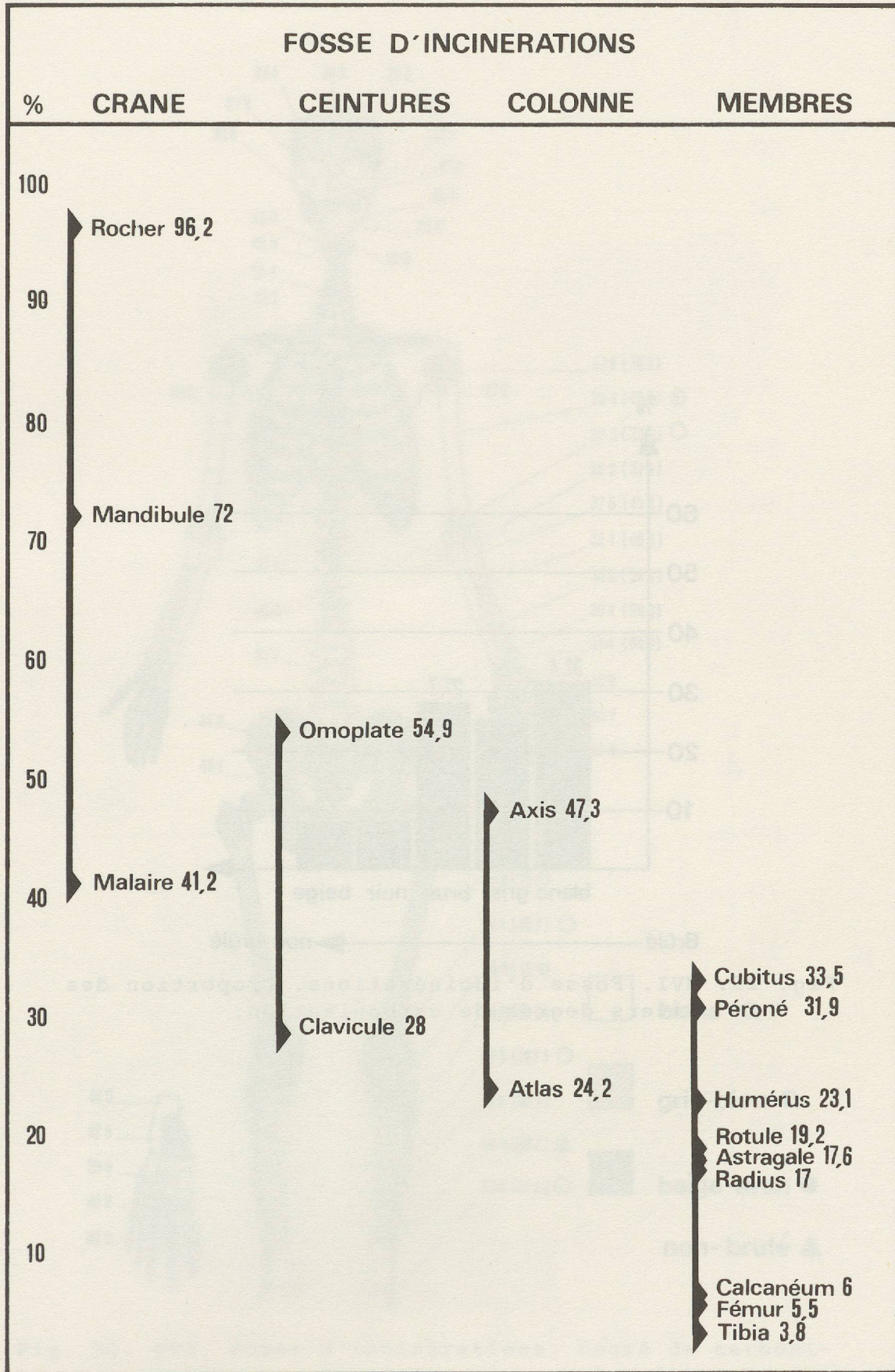


Fig. 24. MVI. Fosse d'incinérations. Degré de conservation du squelette.

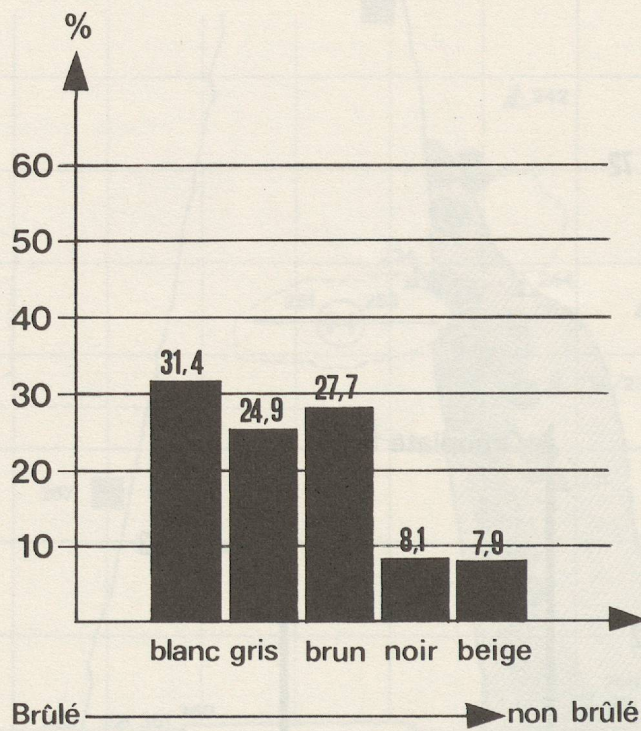


Fig. 25. MVI. Fosse d'incinérations. Proportion des divers degrés de carbonisation.

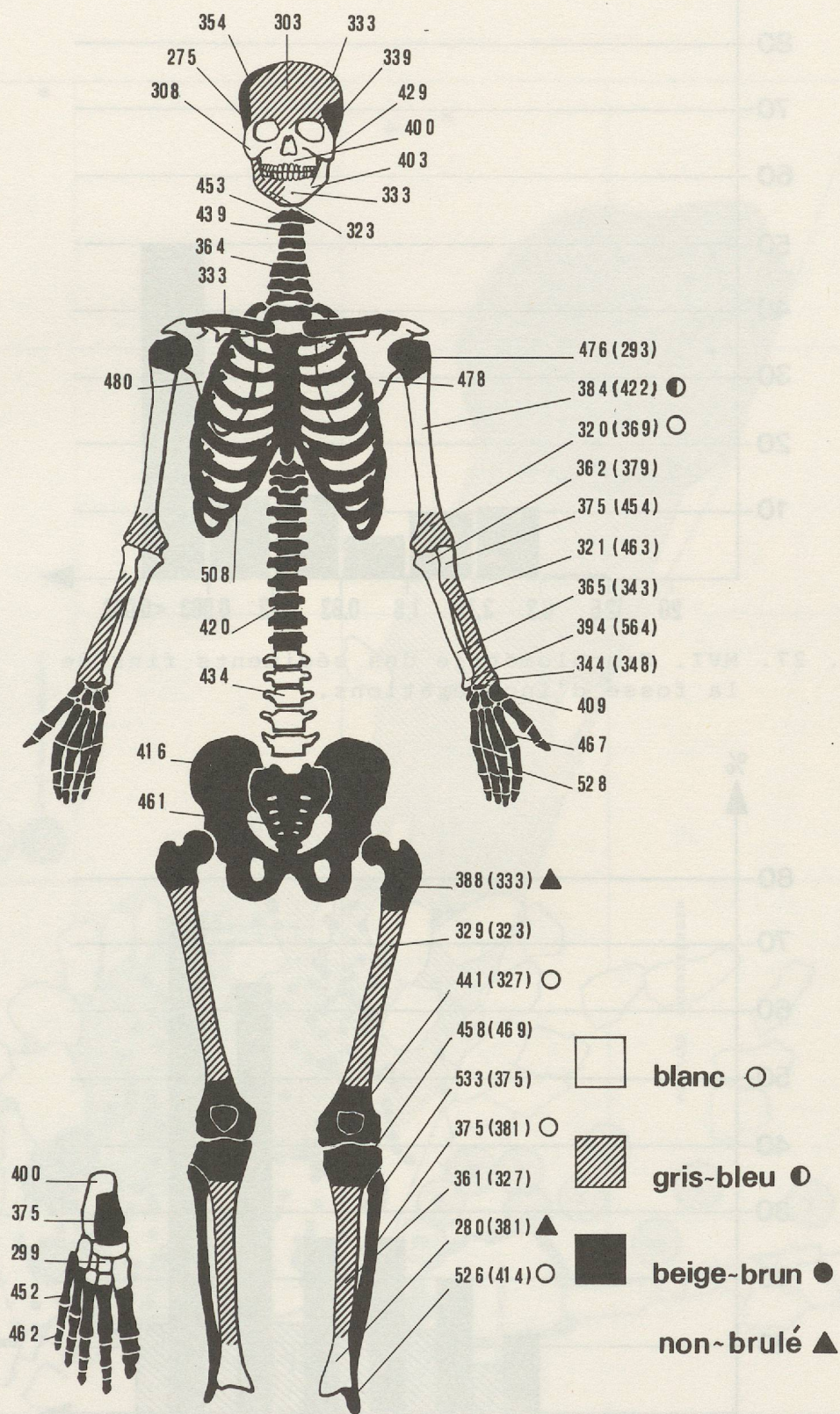


Fig. 26. MVI. Fosse d'incinérations. Degré de carbonisation le plus fréquent pour les diverses parties du squelette.

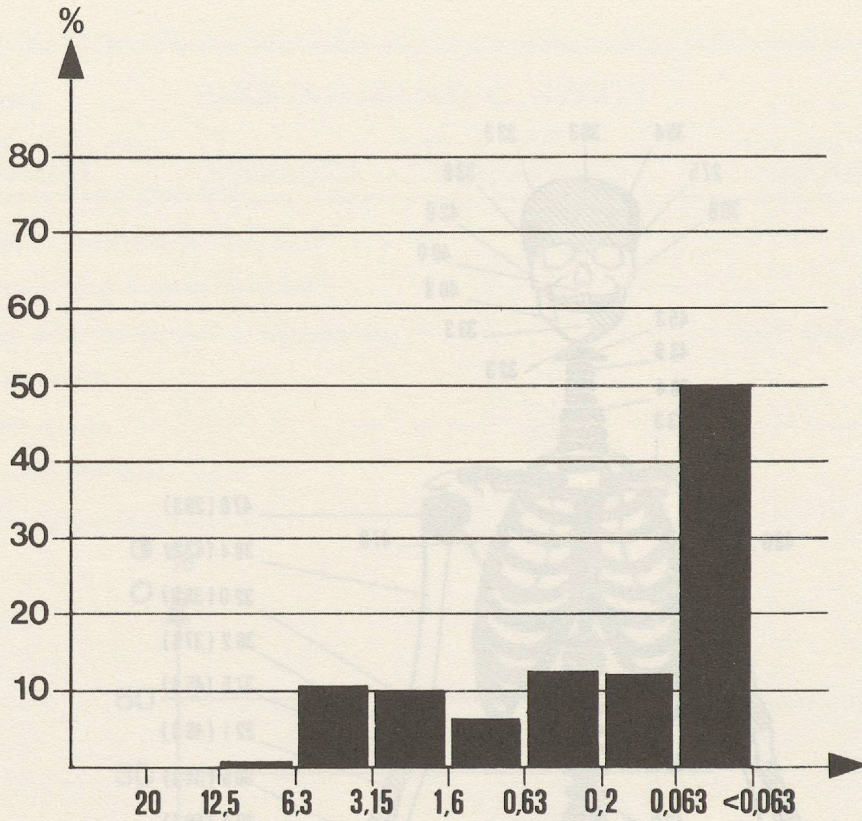


Fig. 27. MVI. Granulométrie des sédiments fins de la fosse d'incinérations.

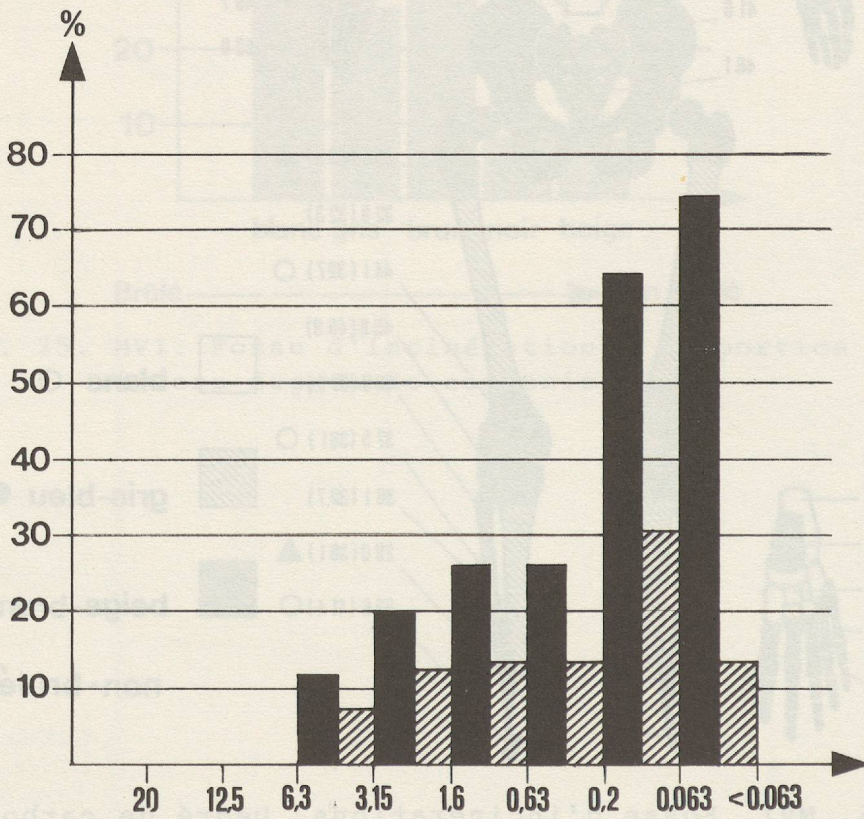


Fig. 28. MVI. Sédiments fins de la fosse d'incinérations. Résidus après attaque par HCL (noir), puis par KOH (hachuré). Pourcentages pour chaque catégorie de dimensions.

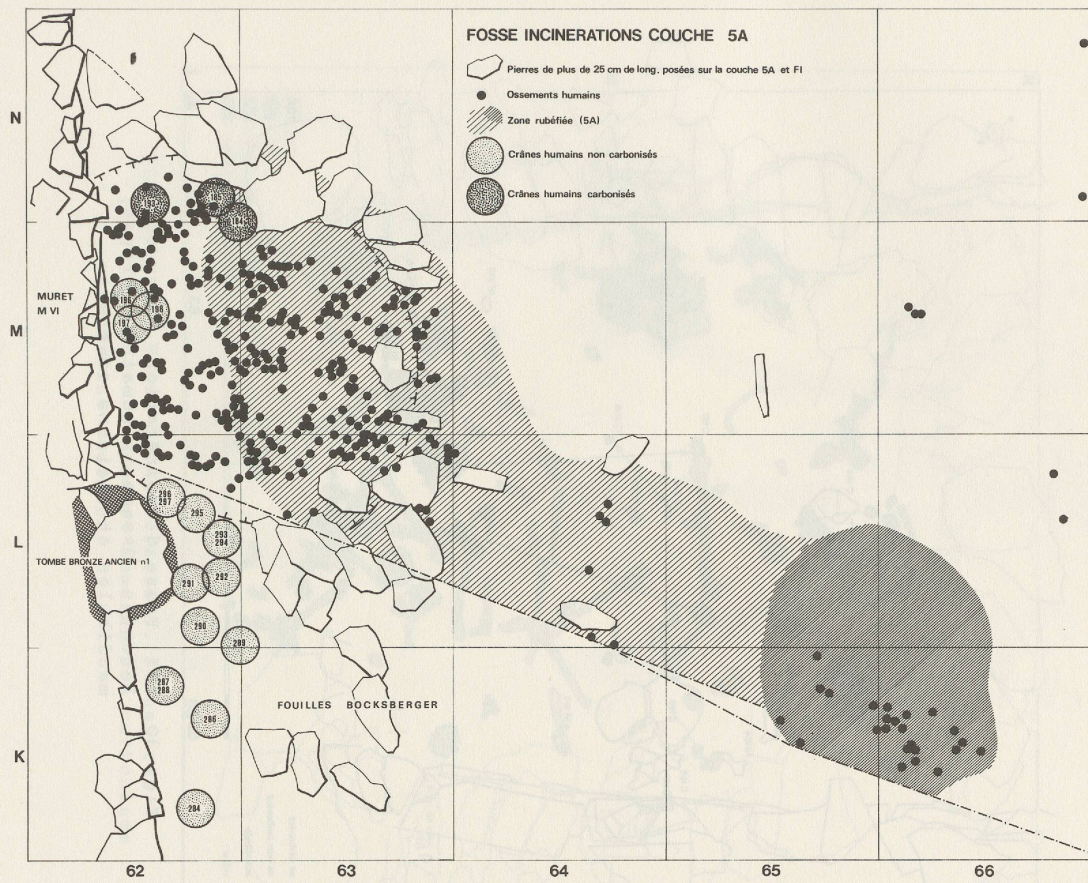


Fig. 29. MVI. Fosse d'incinérations. Structures latentes. Répartition des zones rubéfiées, des pierres égales ou supérieures à 25cm, des os carbonisés et des crânes.



Fig. 30. MVI. Fosse d'incinérations. Structures latentes. Ossements humains : crânes, mandibules et liaisons courtes.



Fig. 31. MVI. Fosse d'incinérations. Structures latentes. Ossements humains non carbonisés et témoins façonnés.

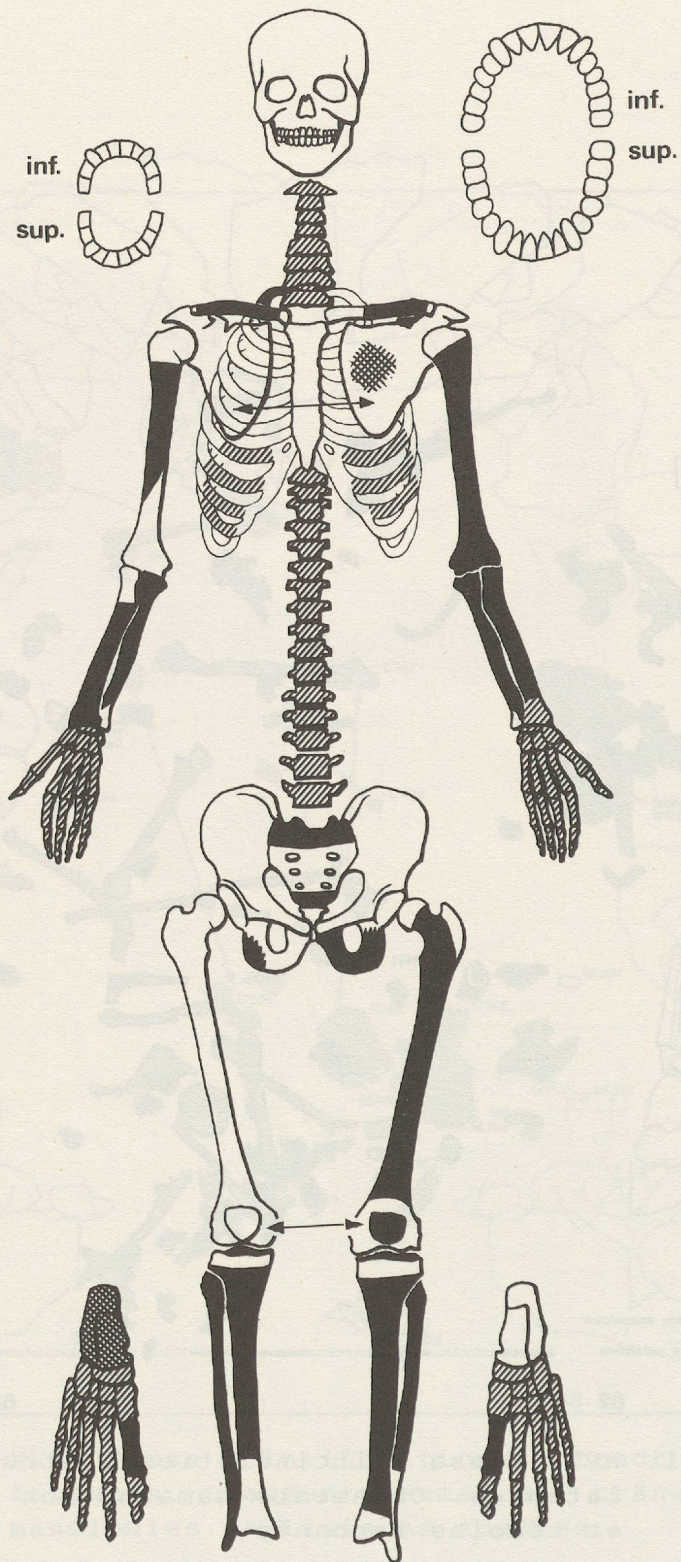


Fig. 32. MVI. Ciste adventice. Sépulture d'enfant de la couche 5A3MAJ. Conservation du squelette de l'individu 1. Flèches horizontales : côté indéterminable. En noir, parties bien conservées. En hachures, parties mal conservées.

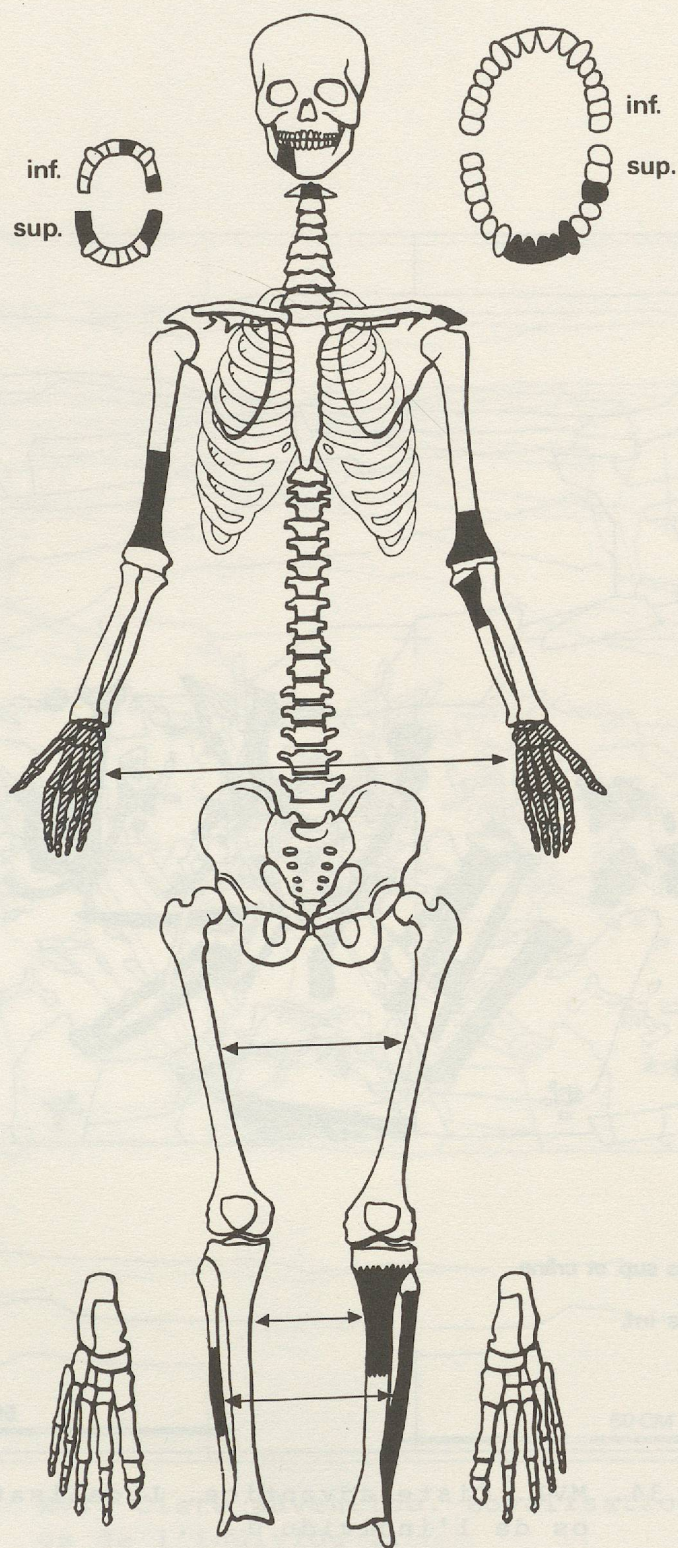


Fig. 33. MVI. Ciste adventice. Sépulture d'enfant de la couche 5A3MAJ. Conservation du squelette de l'individu 2. Flèches horizontales : côté indéterminable. En noir, parties bien conservées. En hachures, parties mal conservées.



Fig. 34. MVI. Ciste adventice. Localisation des os de l'individu 1.

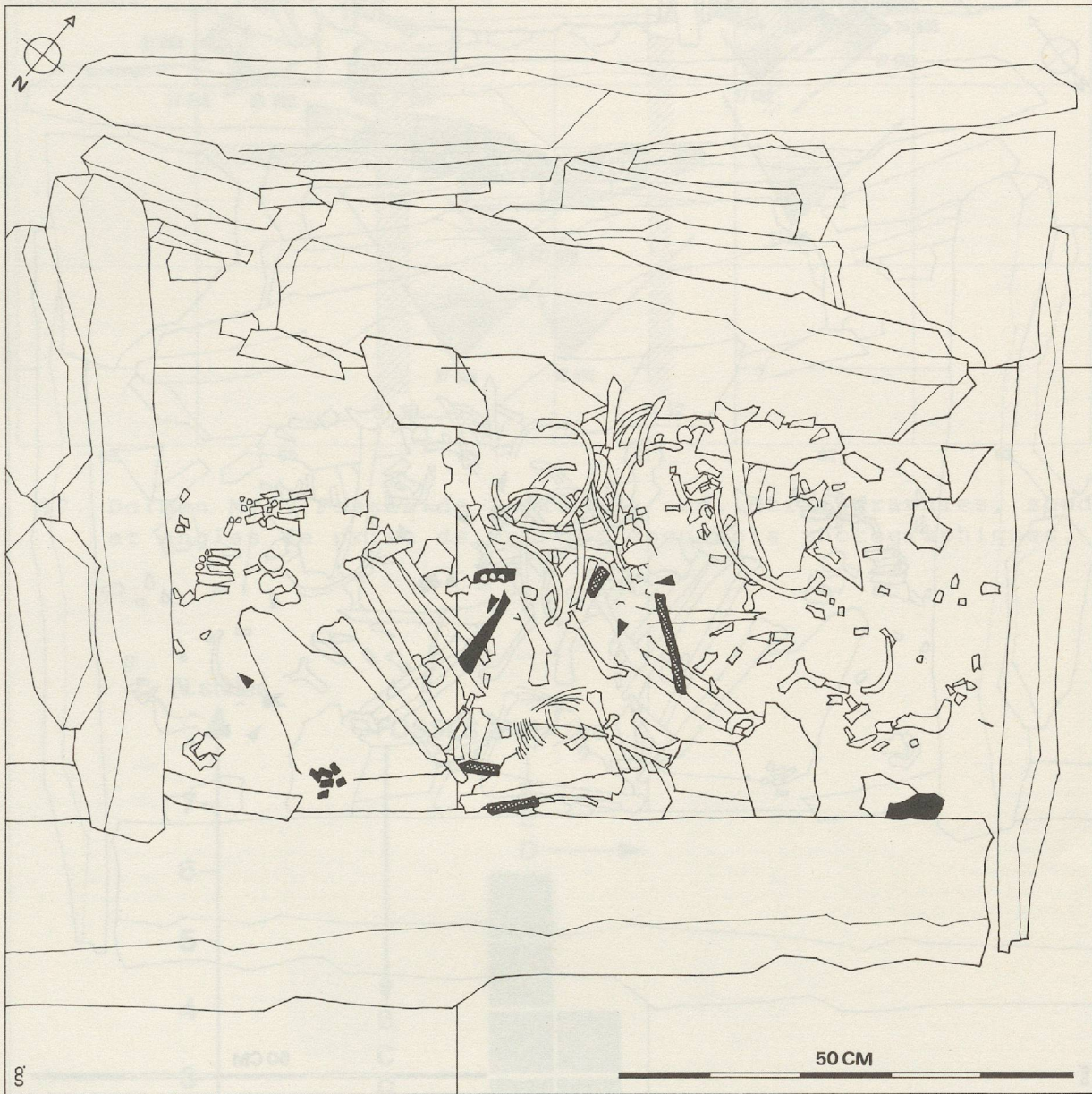


Fig. 35. MVI. Ciste adventive. Localisation des os de l'individu 2.

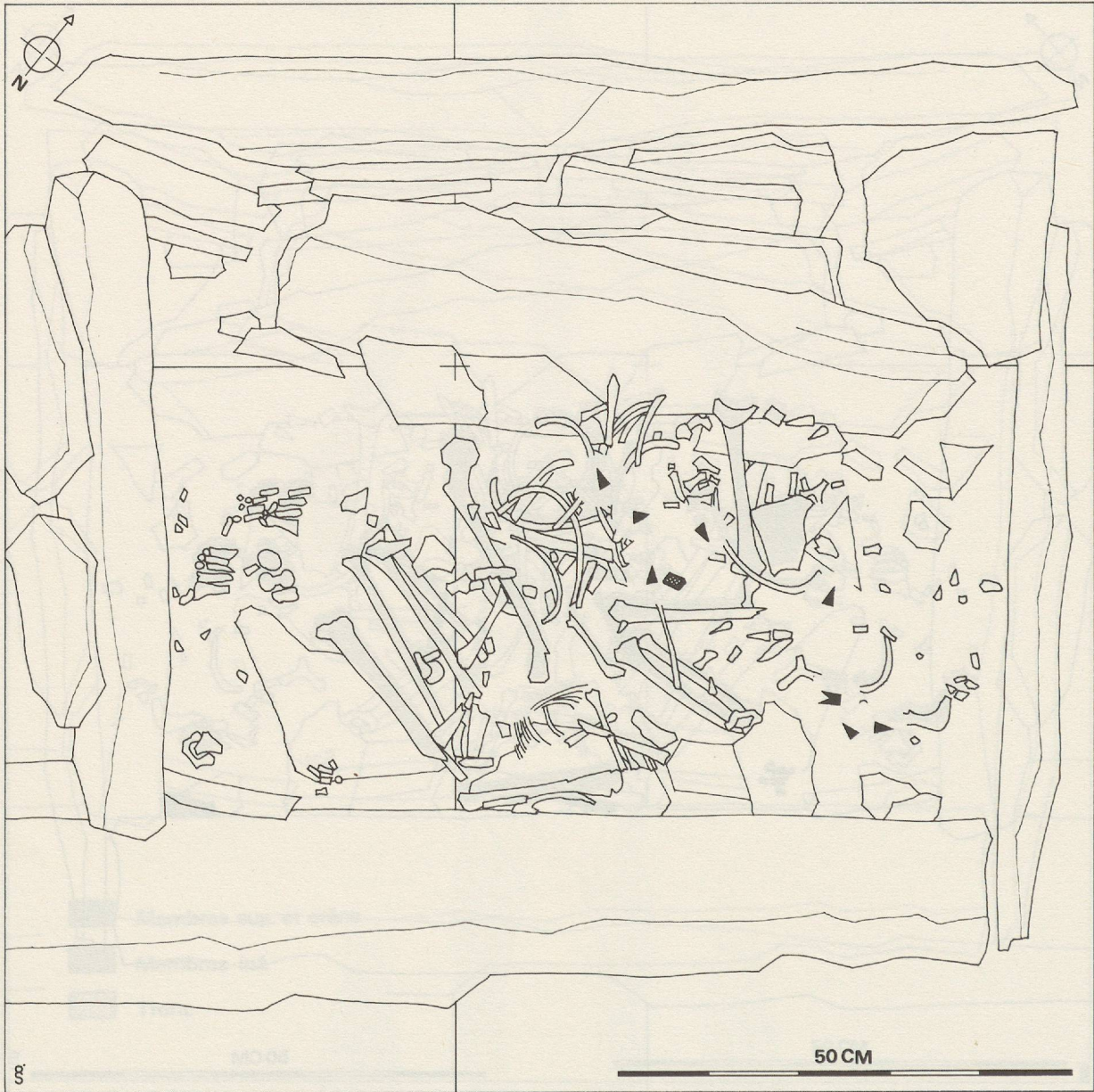


Fig. 36. MVI. Ciste adventice. Localisation des os de l'individu 3.

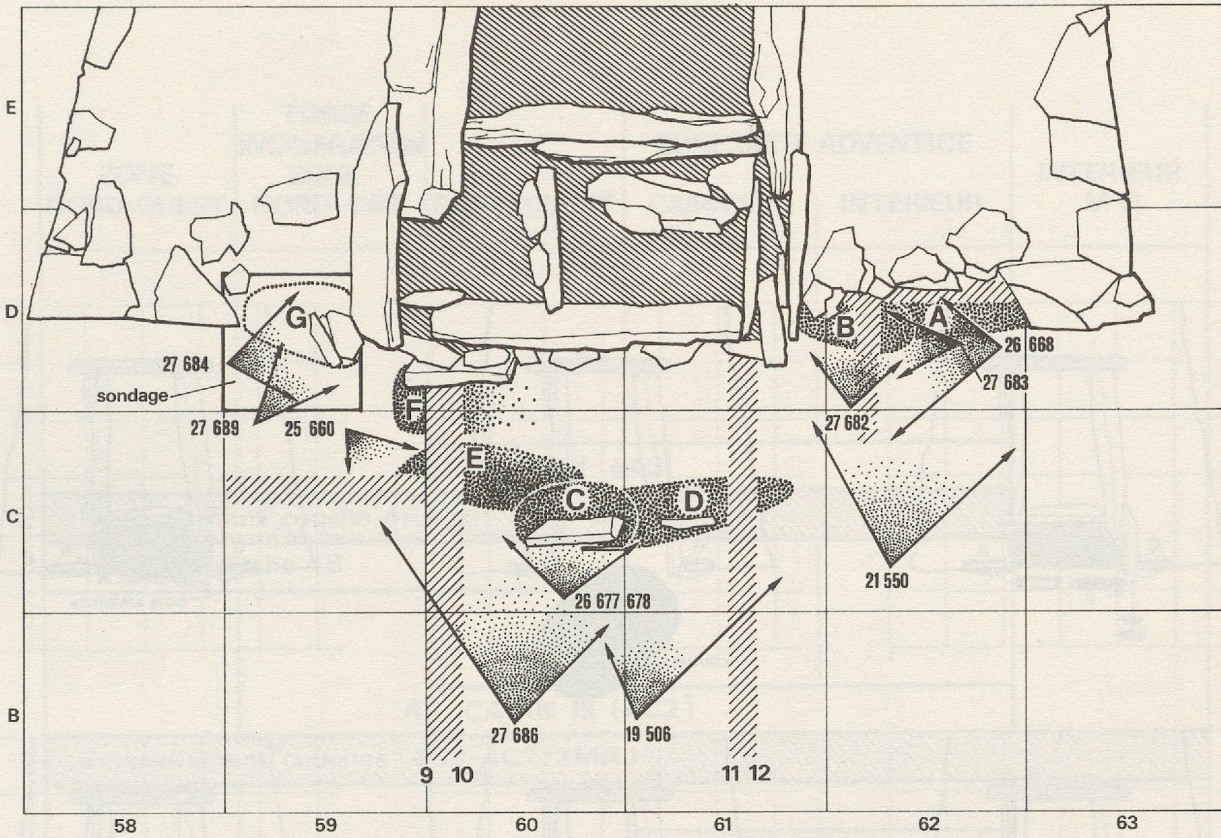


Fig. 37. Dolmen MVI. Fossés de la façade sud. Stratigraphies, sondages et angles de prise de vue des documents photographiques.

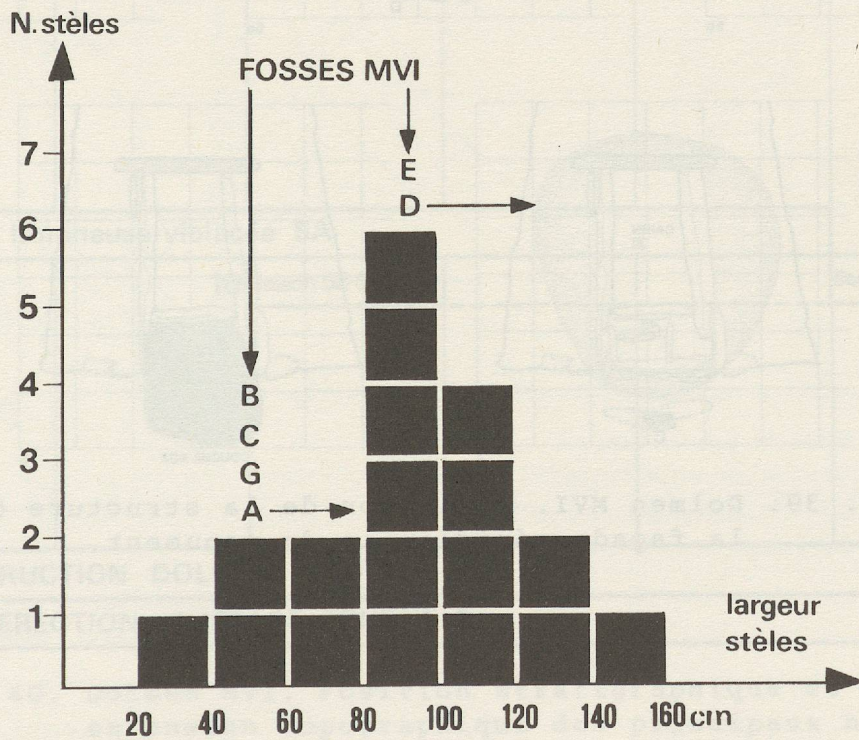


Fig. 38. Situation des fossés par rapport aux dimensions des bases des stèles de l'horizon supérieur (18 exemplaires mesurables).

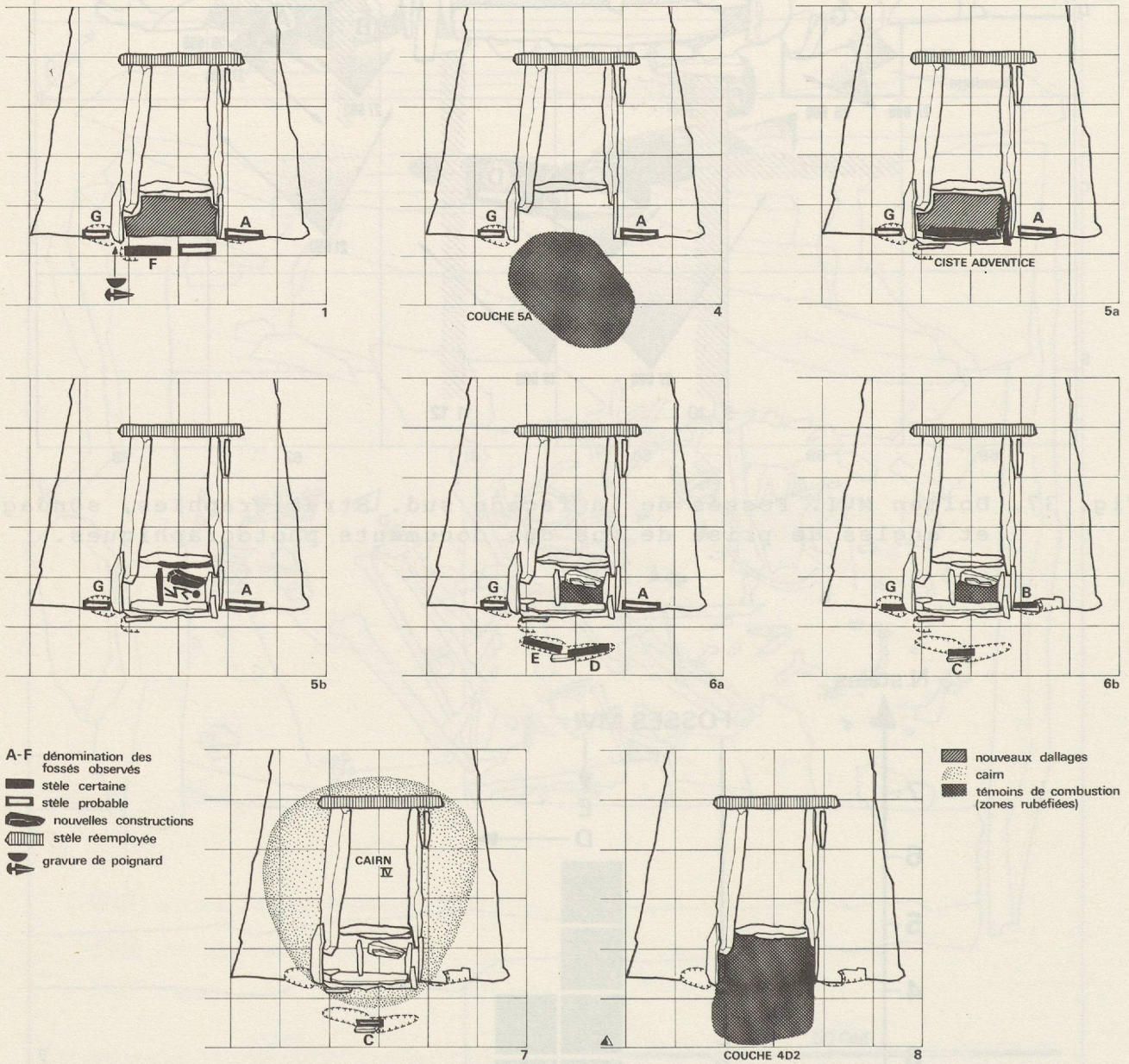


Fig. 39. Dolmen MVI. Evolution de la structure de la façade méridionale du monument.

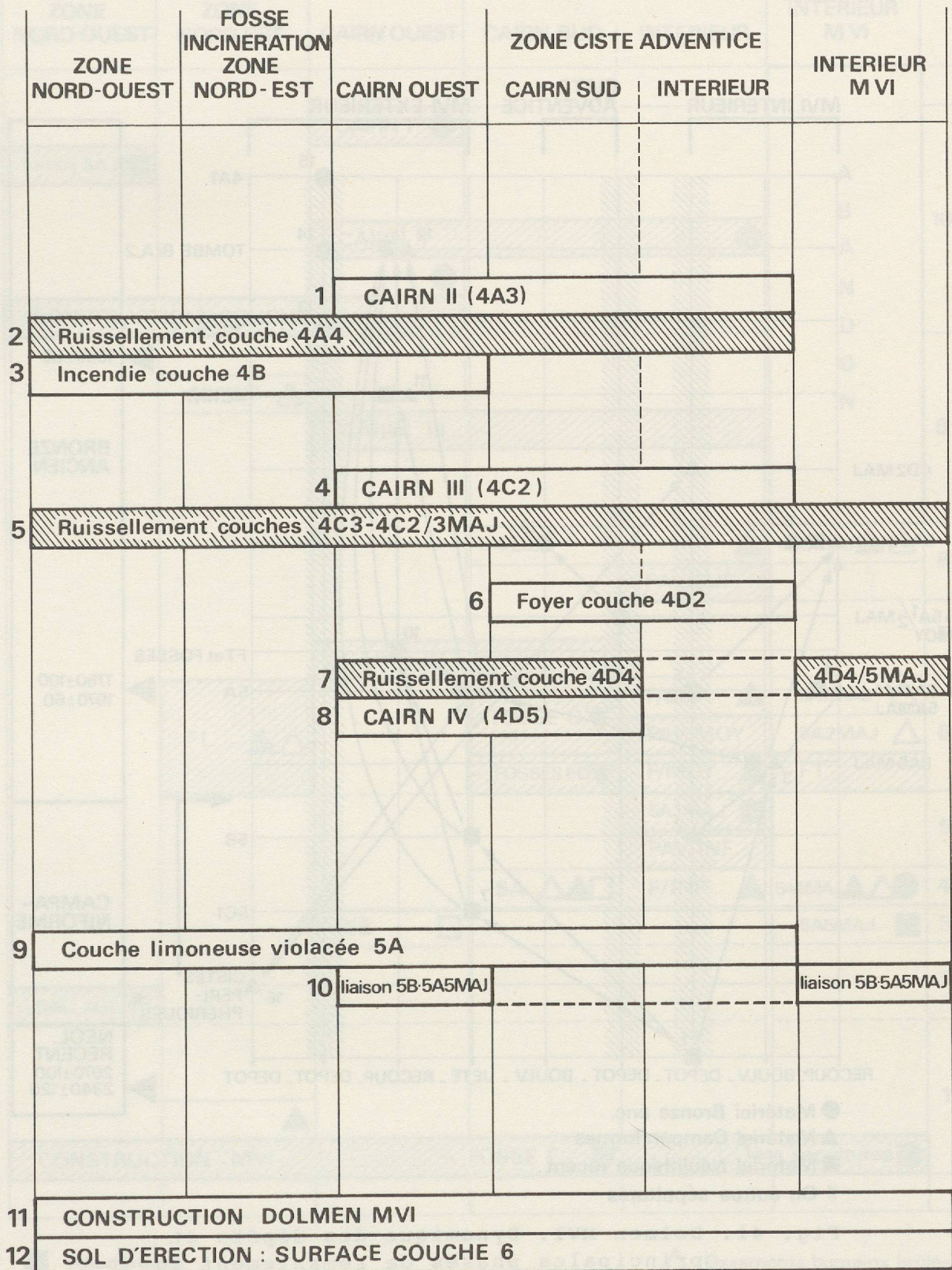


Fig. 40. Dolmen MVI. Position stratigraphique et extension topographique des principaux niveaux repères (voir aussi fig. 17).

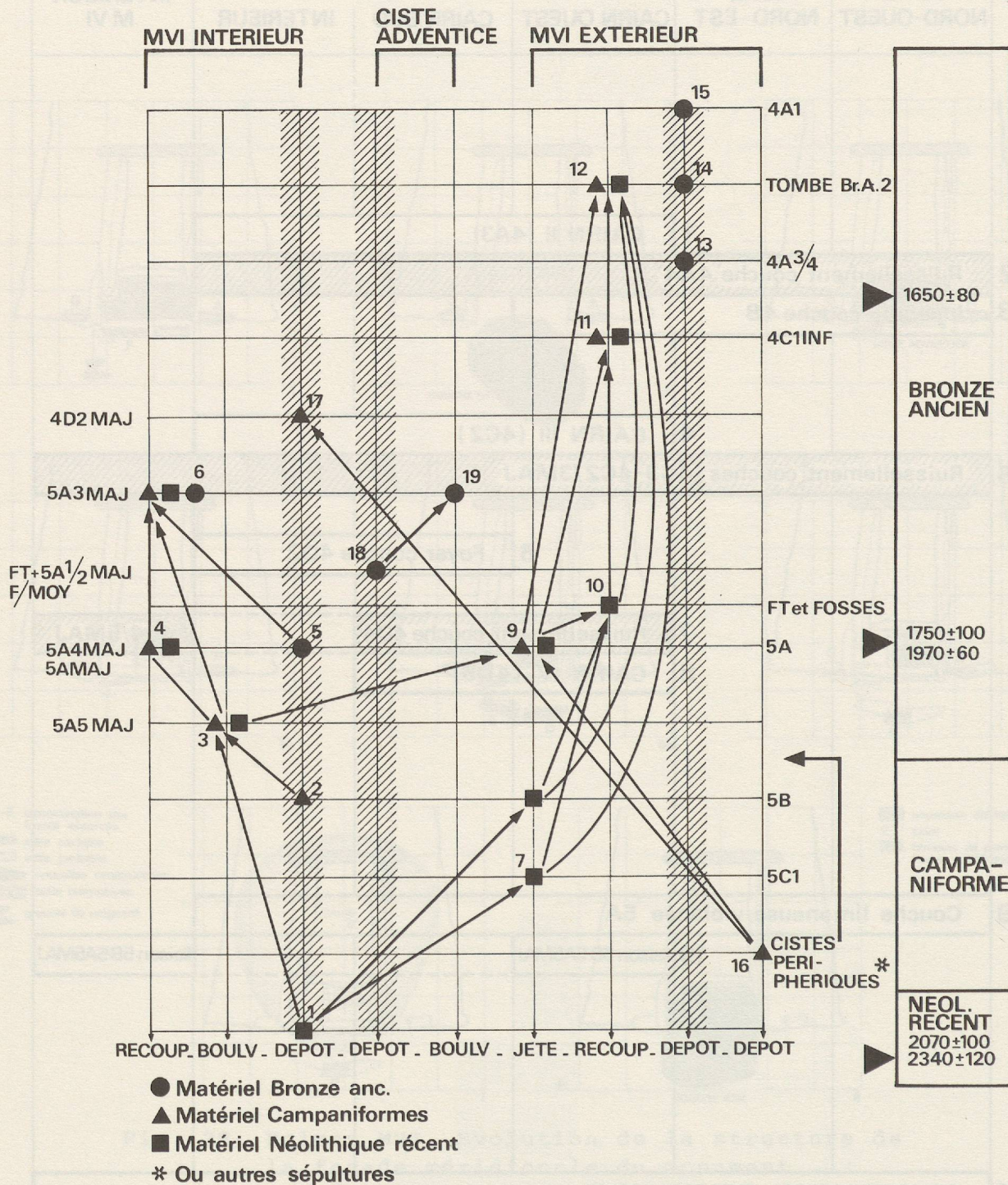
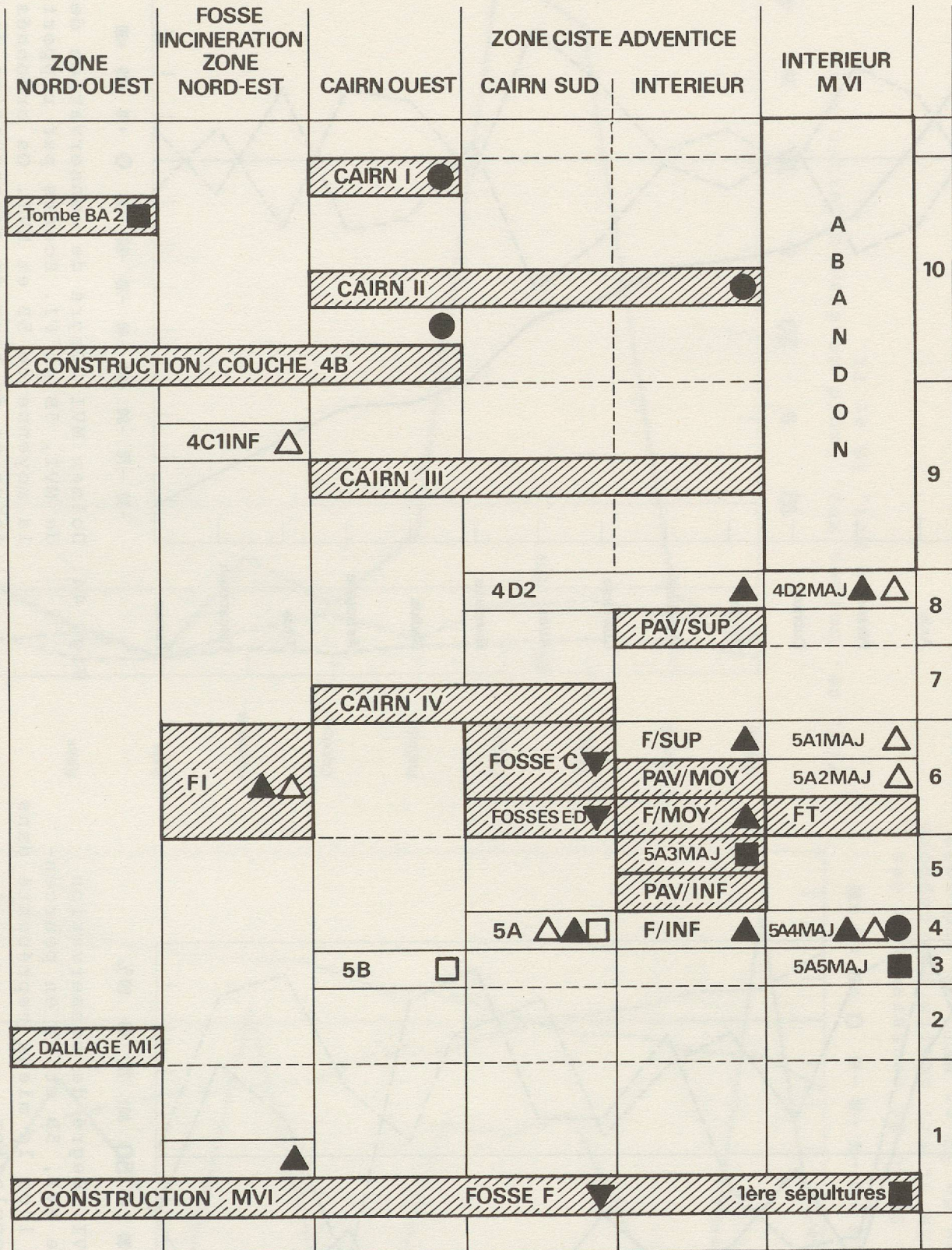


Fig. 41. Dolmen MVI. Dynamique des dépôts et principales phases de remaniement du contenu des sépultures.



- Inhumations
- Couche de violation
- ▲ Feux intentionnels

- ▲ Ossements humains brûlés
- ▼ Erection de stèles
- Dépôt de jarre

Fig. 42. Dolmen MVI. Position stratigraphique des principales phases d'activité humaine.

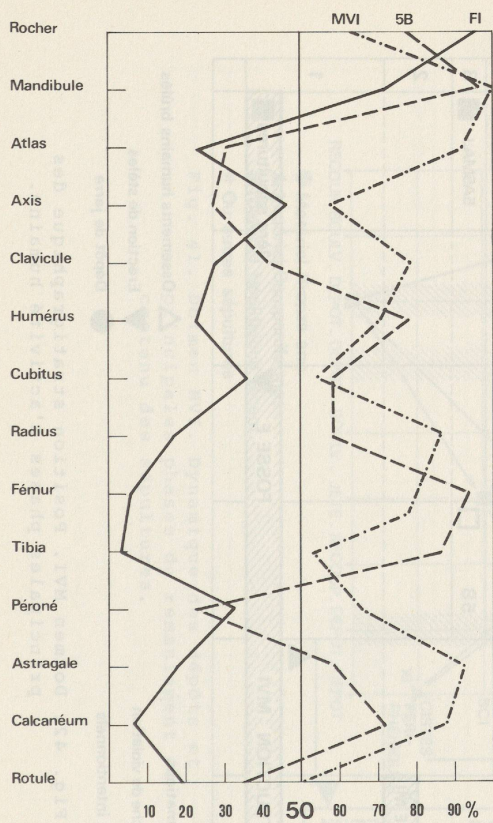


Fig. 43. Dolmen MVI. Degré de conservation des os de MVI, 5B et FI en pourcentages de l'os le mieux représenté dans chaque population.

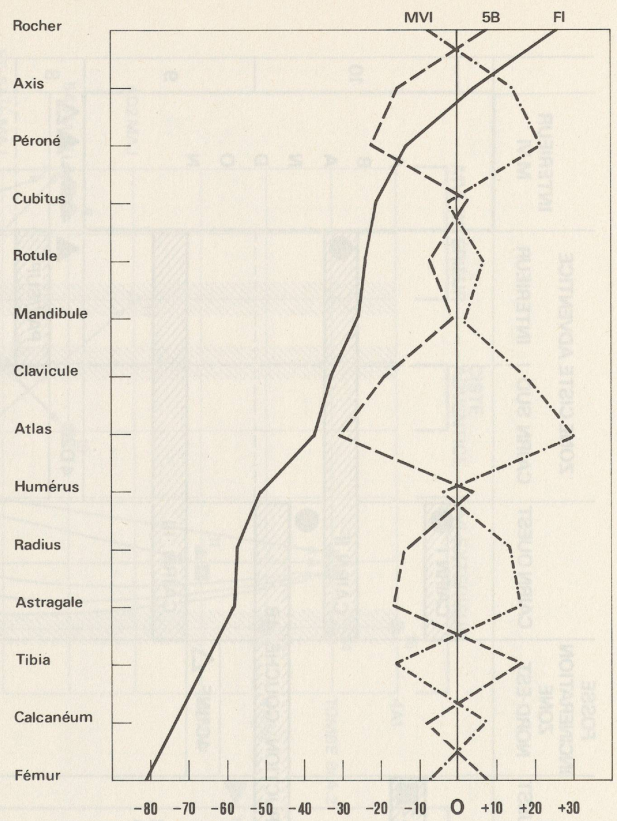


Fig. 44. Dolmen MVI. Degré de conservation des os de MVI, 5B et FI. Ecart par rapport à la moyenne de 5B et MVI. Os ordonnés en fonction du taux de conservation de FI.

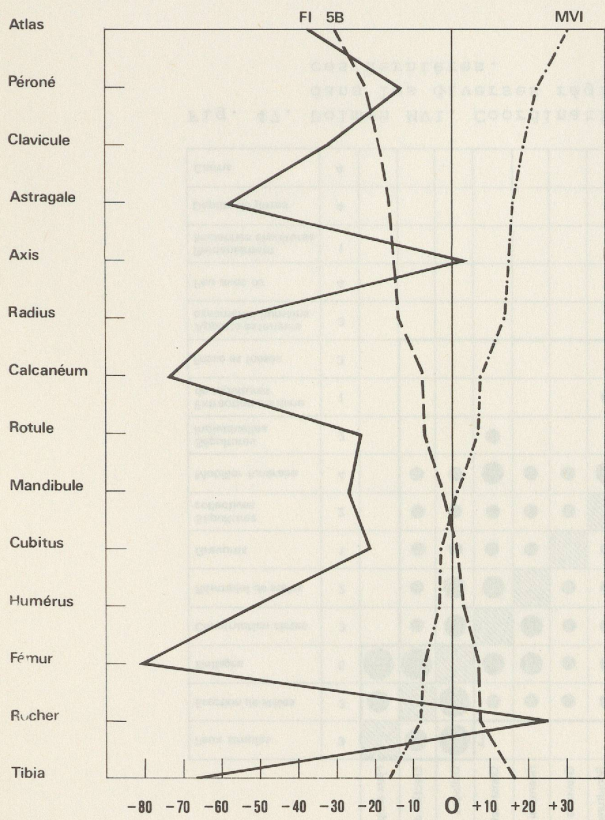


Fig. 45. Dolmen MVI. Degré de conservation des os de MVI, 5B et FI. Ecart par rapport à la moyenne de 5B et MVI. Os ordonnés en fonction de l'écart entre 5B et MVI.

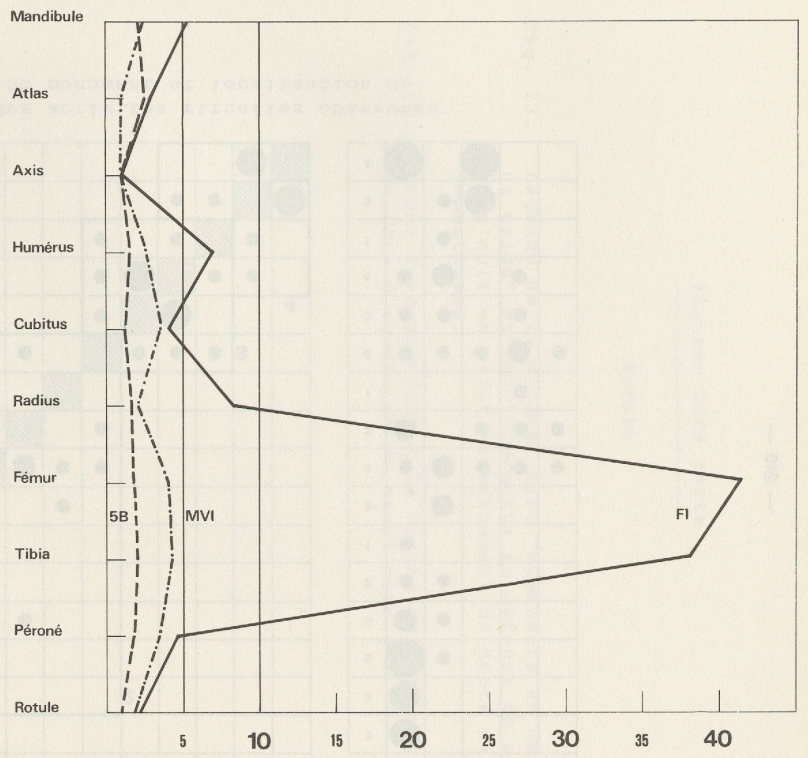


Fig. 46. Dolmen MVI. Degré de fragmentation des os de MVI, 5B et FI.

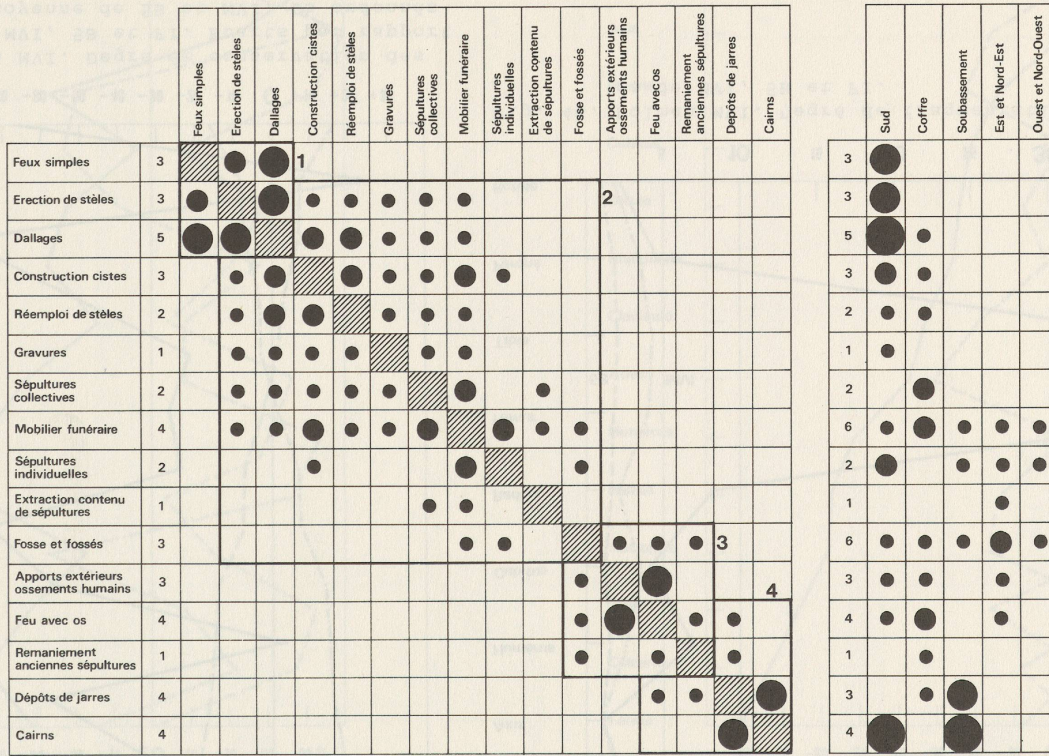


Fig. 47. Dolmen MVI. Coordination des activités rituelles observées dans les diverses régions du monument et localisation de ces dernières.